



# **Nichtgravitative Kräfte beim Halleyschen Kometen**

**Werner Landgraf**







# Nichtgravitative Kräfte beim Halleyschen Kometen

Dissertation

zur Erlangung des Doktorgrades

der Mathematisch-Naturwissenschaftlichen Fachbereiche

der Georg-August-Universität zu Göttingen

vorgelegt von

**Werner Landgraf**

aus Mainz

Göttingen 1988

**Nichtgravitative Kräfte beim Halleyschen Kometen**  
von Werner Landgraf ( Göttingen 1988 )

Lizenz: *Creative Commons Namensnennung - Keine kommerzielle Nutzung - Keine Bearbeitung 3.0 Deutschland* (CC BY-NC-ND). Vorbehalt bestimmter Rechte und ausschließlicher Verlag durch den Verfasser. Keine ausschließlichen und keine nicht jederzeit widerruflichen Rechte oder Dienste Anderer vorhanden oder erhältlich.  
Bei gleichem Inhalt variierende Gestaltung des Umschlages.

ISBN: 979-10-90349-05-6 (paperback) ,  
979-10-90349-06-3 (hardcover)

D7

Referent: Prof. Dr. *H.H. Voigt*

Korreferent: Prof. Dr. *W. Deinzer*, Priv.-Doz. Dr. *K. Jockers*

Tag der mündlichen Prüfung: 29.4.1988

## Zusammenfassung

Durch den Rückstoß der im Zusammenhang mit der Schweifbildung entweichenden Materie haben Kometen einen Eigenantrieb. Über den Verlauf dieser *nichtgravitativen Kräfte* gibt es bisher nur Annahmen und Modellrechnungen. Die gegenwärtige Erscheinung des Halleyschen Kometen bietet erstmals die Möglichkeit, aus der beobachteten Bewegung den Verlauf der Kräfte direkt zu berechnen.

Im ersten Kapitel wird der historische und physikalische Hintergrund der nichtgravitativen Kräfte und der gegenwärtige Stand ihrer Erforschung beschrieben. Das zweite Kapitel befaßt sich mit den Grundlagen der Berechnung der nichtgravitativen Kräfte aus der beobachteten Bewegung der Kometen. Im dritten Kapitel folgen Betrachtungen über den Einfluß der nichtgravitativen Kräfte auf die Beobachtungen und über die zweckmäßigste Verwendung derselben für die Berechnungen. Im vierten Kapitel schließlich wird auf die Erforschung und Ergebnisse über die nichtgravitativen Kräfte des Halleyschen Kometen eingegangen.



## 1. Einleitung

Die Versuche, das Wesen der Bewegung der Himmelskörper zu klären, sowie ihre Vorausberechnung zu bewerkstelligen, dürften zu den ältesten Aufgaben der Wissenschaften gehören. Dies galt insbesondere für die Kometen, von denen die meisten regellos erscheinen. Während sich Theorien der Bewegung der Planeten zu den meisten Zeiten den Beobachtungen im Rahmen ihrer Genauigkeit anpassen ließen, war dies bei den Kometen aus Gründen prinzipieller Unkenntnis nicht möglich.

Bis zur Zeit der Renaissance bestand in Europa, entsprechend den Lehren des *Aristoteles*<sup>1</sup> die Auffassung, daß es sich bei den Kometen um subtile Gebilde handelt, die durch die Einwirkung der Strahlung der Sonne oder der Planeten bei Konjunktionen aus der Feuchtigkeit des Bodens entstehen, durch die Regionen der Luft und des Wassers hinauf zur Sphäre des Feuers stiegen, sich dort entzündeten und anschließend brennend wieder herabstürzen und dabei unter anderem krankheitserregende Dünste und anderes Unheil über die Bewohner verbreiten. Dies war die älteste Theorie über die nichtgravitative Bewegung der Kometen, die heute allerdings kaum noch Anhänger findet.

Die auf die Entwicklung der Buchdruckerkunst um 1440 einsetzende wissenschaftliche Diskussion erfaßte auch die Kometen. Bei Beobachtungen eines 1531 erschienenen Kometen, der sich später als der Halleysche Komet erwies, stellte *P. Apianus*<sup>2</sup> in Ingolstadt fest, daß der Schweif des Kometen von der Sonne wegweis, und bestätigte dies anhand der Kometen von 1532, 1533, 1538 und 1539. Dies widersprach zwar noch nicht der bisherigen Lehre, regte aber Überlegungen über eine möglicherweise astronomische Natur der Kometen an. Ein Versuch durch *J. Vogelin*<sup>3</sup> in Wien, die Parallaxe des Kometen von 1532 zu messen, verlief erfolglos, ebenso entsprechende Beobachtungen des Kometen 1577b von *T. Brahe*<sup>4</sup> in Hvar. Daraus schloß man, daß die Kometen erheblich weiter als der Mond von der Erde entfernt sind. Inzwischen hatte bereits *N. Kopernikus*<sup>5</sup> die Bewegung der Planeten durch sein i.W. bis heute fortbestehendes Modell erklärt. *J. Kepler*<sup>6</sup> versuchte, neben der Entdeckung seiner Gesetze zur Planetenbewegung, die Bewegung der Kometen durch Geraden darzustellen, allerdings ohne gutem Erfolg. Ein wesentlicher Fortschritt ergab sich erst durch die Idee von *J. Hevelius*<sup>7</sup> in Danzig, eine zur Sonne hin gekrümmte Bewegung anzunehmen, was er aus Beobachtungen des Kometen von 1664/5 folgerte. Kurz darauf gelang es seinem ehemaligen Schüler *G.S. Dörffel*<sup>8</sup> in Plauen, die Beobachtungen des Kometen von 1680 sehr genau durch eine Parabel darzustellen. Dies war die erste wesentlich richtige Darstellung der Bahn eines Kometen.

Um 1700 bewies *I. Newton*<sup>9</sup> als eine der ersten Anwendungen der gerade erfundenen Infinitesimalrechnung, daß sich die Himmelskörper entsprechend den Keplerschen Gesetzen auf Kegelschnittbahnen bewegen, falls die Sonne auf sie eine anziehende Kraft  $\propto r^{-2}$  zur Entfernung  $r$  bewirkt. Neben *Newton* berechnete *E. Halley*<sup>10</sup> die Lage und Periheldistanz von 24 früher beobachteten Kometen. Dabei fiel ihm die Ähnlichkeit der Bahnen der Kometen von 1682, 1607 und 1531 auf, sowie daß auch für 1456 von einem Kometen berichtet wurde, und er postulierte zutreffend, daß es sich um einunddenselben Kometen handelt, der 1758 zurückkehren sollte, und seither nach ihm benannt wurde.

In der nachfolgenden Zeit etablierte sich die neue Vorstellung über die Bewegung der Kometen durch ihre Anwendung auf alle neu erscheinenden Kometen. 1758 erschien erwartungsgemäß der Halleysche Komet.

---

<sup>1</sup> *Meteorologie*, lib. II

<sup>2</sup> *Practica auff das 1532 Jar* . Landshut 1531, *Astronomicum Cæsareum*. Ingolstadt 1540.

<sup>3</sup> *Significatio Cometæ*, qui anno 1532 apparuit. Wien 1574. S.155.

<sup>4</sup> *De mudi aetherii rectionibus liber secundus, qui est de illustri stella candata anno 1577 conspecta*. Uranienburg 1588.

<sup>5</sup> Zur Erfassung der Bewegung der Planeten und Kometen siehe detailliert *E. Zinner*; *Die Geschichte der Sternkunde*. Berlin 1931. 454ff.; *J. Frischauf*; *Grundriß der Theoretischen Astronomie*. Leipzig 1922 (3.Aufl.). 102ff.

<sup>6</sup> *De cometis libelli tres*. Augsburg 1619.

<sup>7</sup> *Cometographia*. Danzig 1668. lib.9

<sup>8</sup> *Astronomische Betrachtung des großen Cometen* . . . . Plauen 1681.

<sup>9</sup> *Philosophiæ Naturalis Principia Mathematica*. London 1687. **3**/16,21.

<sup>10</sup> *Astronomiæ Cometice Synopsis*. London 1705.





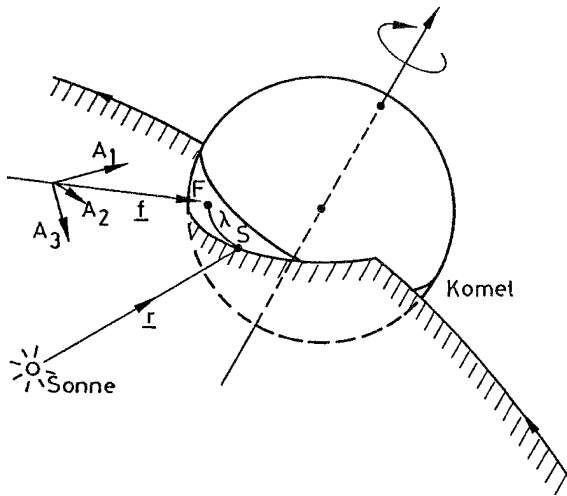


Abb. 1.1 *Nichtgravitative Kraft durch Sublimation*

Durch die Sonnenbestrahlung sublimiert Material des Kometen, woraus Kopf und Schweif entstehen. Der Rückstoß  $f$  stellt die nichtgravitative Kraft dar. Infolge der Rotation des Kometen ist der Sublimationsschwerpunkt  $F$  gegenüber dem subsolaren Punkt  $S$  um den lag angle  $\lambda$  verschoben, weil auch in tieferen Schichten Material sublimiert, wohin die Wärme erst geleitet werden und von wo aus das sublimierte Gas an die Oberfläche diffundieren muß.  $r$  Radiusvektor,  $A_1, A_2, A_3$  Richtung der nichtgravitativen Parameter.



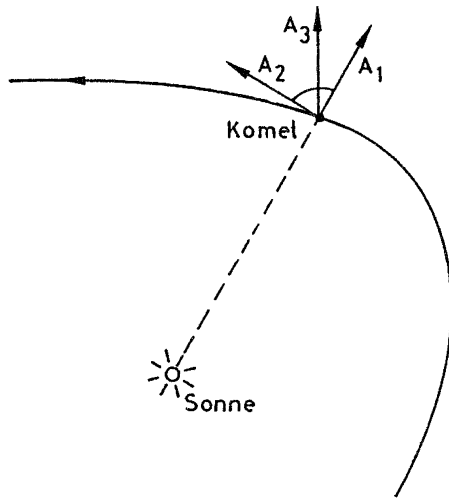


Abb. 1.2 Nichtgravitative Parameter

Die nichtgravitativen Parameter  $A_1, A_2, A_3$  sind das Verhältnis der zur Bahnbewegung radialen, transversalen und normalen Komponente der nichtgravitativen Beschleunigung zu einem vorgegebenen Verlauf  $g(r)$ .

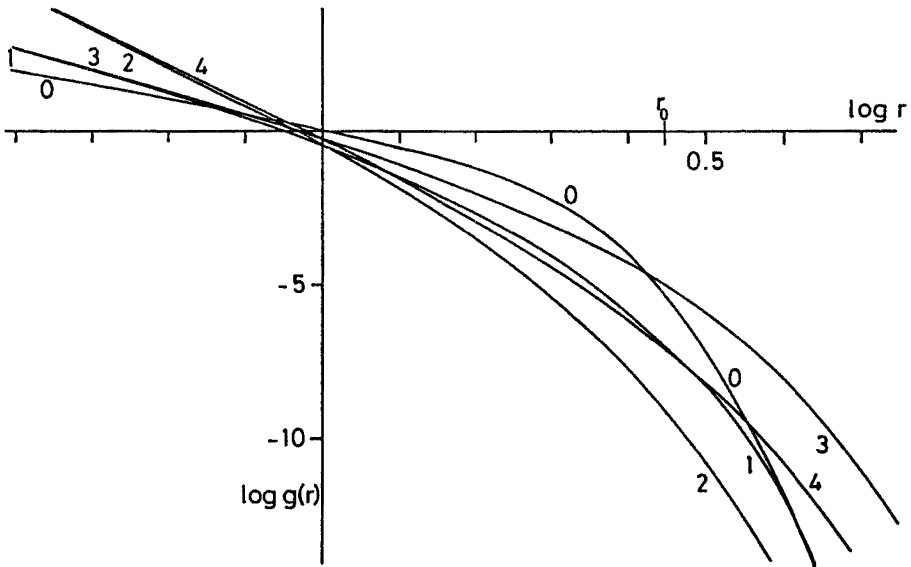


Abb. 1.3 Verlauf der nichtgravitativen Kräfte nach Stil 1 und Stil 2

0: Stil 2, Gl. 1.4 ( $r_0 = 2,808 AE$ ). 1-4: Stil 1, Gl. 1.2 mit  $C = 2, \alpha = 3$  (1) bzw.  $\alpha = 5$  (2),  $C = 4, \alpha = 3$  (3) bzw.  $\alpha = 5$  (4).

dazu (siehe Abbildung 1.2). Sie werden aufgeteilt in den von der heliozentrischen Distanz beziehungsweise von der Zeit abhängigen Anteil gemäß

$$f_i(r, t) = A_i b_i(t) g_i(r) \quad . \quad 1.1$$

Die  $b_i(t)$  und  $g_i(r)$  sind im Laufe der Zeit zu erforschen und werden für die Bahnbestimmungen zunächst einmal vorgegeben. Die  $A_i$ , die sogen. nichtgravitativen Parameter, sind für die verschiedenen Kometen bei den Bahnrechnungen zu bestimmen. Als Arbeitshypothese wurden *ad hoc* Abhängigkeiten der Form

$$g_i(r) = r^{-\alpha_i} e^{-r^2/C_i} \quad 1.2$$

und

$$b_i(t) = e^{-B_i t} \quad 1.3$$

angenommen (siehe Abbildung 1.3), mit zunächst gleichen Parametern  $\alpha_i, C_i$  und  $B_i$  und einer Zeit  $t$  in Einheiten zu 10000 Tagen seit der Epoche. Bei  $r = 1 \text{ AE}$  entspricht etwa  $A_1 = 1,7$  dem millionsten Teil der Sonnenanziehung. Die Annahme für  $g_i(r)$  wurde von *Whipple* vorgeschlagen. Für sechs der im ersten Teil betrachteten Kometen wurden die Werte der nichtgravitativen Parameter bestimmt, ebenso für den langperiodischen Kometen 1960II Burnham, bei dem zuvor systematische Restfehler der Größenordnung  $10''$  verblieben waren<sup>49</sup>. Bei diesem Kometen ergab sich eine signifikante, der Sonnenanziehung entgegenwirkende Kraft von  $A_1 = 5,9$ . Im Falle des Kometen Schwaßmann-Wachmann 2 (Periheldistanz  $q = 2,16 \text{ AE}$ ,  $e = 0,38$ ) ließen sich durch eine Bahn ohne nichtgravitativen Kräften die sieben vorliegenden Erscheinungen 1929 bis 1968 nur mit Fehlern bis zu  $100''$  darstellen. Durch die Erscheinungen 1961 und 1968 alleine ließ sich eine Bahn mit einem mittleren Fehler von  $1'',1$  legen, die bei der Rückrechnung bis 1955 jedoch bis zu  $80''$ , bis 1929 bis zu  $1020''$  Differenz zu den Beobachtungen zeigte. Bei Annahme einer toroidalen nichtgravitativen Kraftkomponente ließen sich die Erscheinungen 1955, 1961, 1968 auf  $1'',2$  mittlerer Fehler darstellen, die Rückrechnung bis 1929 ergab nun Abweichungen bis  $22''$ . Zur ausreichenden Darstellung von mehr als drei Erscheinungen mußte als weiterer Parameter die radiale Komponente oder die säkulare Variation hinzugenommen werden. Bei der Variation der Parameter  $C$  und  $\alpha$  des angenommenen Kraftgesetzes ergaben sich für  $C = \infty$ , also rein potenziellen Kraftverläufen, deutlich höhere Fehler als bei kleinen Werten für  $C$ . Für  $C = 2$  und  $\alpha = 3$  ergab sich die beste Darstellung der Beobachtungen. Diese Werte wurden daher in der Folgezeit weiter verwendet. Bei den anderen Kometen sind die nichtgravitativen Effekte erheblich geringer und wurden nur die Parameter bestimmt. *Marsden* merkt abschließend an, daß trotz der besseren mittleren Darstellung der Bewegung am Rande der Erscheinungen deutliche systematische Restfehler verbleiben. Bei Komet Schaumasse wurde eine erhebliche Änderung der nichtgravitativen Parameter nach einem Vorübergang an Jupiter im Jahre 1937 festgestellt. Der *lag angle*  $\lambda \approx A_2/A_1$  war klein bei den Kometen Schwaßmann-Wachmann 2 und *Whipple*, die erst kurz zuvor von Jupiter eingefangen wurden und daher junge Kometen sind, dagegen groß bei Komet Encke, einem alten Kometen.

Bei den kurzperiodischen Kometen tritt im Wesentlichen die Veränderung der Umlaufzeit, bei Annahme eines symmetrischen Kräfteverlaufes also die toroidale Komponente in Erscheinung, bei langperiodischen Kometen dagegen die ungleichförmige Bewegung im ab- und aufsteigenden Teil der Bahn infolge der radialen Kraft. Im dritten Teil seiner Untersuchungen<sup>50</sup> überprüfte *Marsden* daher Komet 1960II Burnham und Komet 1957III Arend-Roland auf unterschiedliche Werte für  $C$  und  $\alpha$ . Hier ergab sich nun die beste Darstellung durch einen Verlauf  $\propto r^{-2}$ . Daraus schloß *Marsden*, daß die Funktion der radialen und der toroidalen Komponente erheblich unterschiedlich ist und daher der lag angle erheblich von der heliozentrischen Distanz abhängt. Von weiteren 8 Kometen wurden die Parameter berechnet. Bei den Kometen Perine-Mrkos und Pons-Winnecke wurden Änderungen der Parameter bei Jupiterannäherungen festgestellt, bei den Kometen d'Arrest und Daniel dagegen nicht.

Im vierten Teil<sup>51</sup> untersuchten *Marsden* und *Sekanina* mehrere Kometen, von denen Beobachtungen aus dem letzten Jahrhundert vorliegen, um einen Überblick über die Änderungen der nichtgravitativen

<sup>49</sup> B.G.Marsden, G. van Biesbroeck, Astron.Journal **68**(1963),566

<sup>50</sup> *ibid* **75**(1970),75

<sup>51</sup> *ibid* **76**(1971),1135

Kräfte, etwa infolge Annäherungen an den Jupiter, zu erhalten. Ebenso wurden Kometen untersucht, die sich auflösten. Diese wiesen deutlich wechselnde Kräfte während ihren letzten Erscheinungen auf. Zur Erklärung der säkularen Änderungen der Beschleunigung oder Abbremsung konnten plausible Gründe wie die Verkleinerung des Kometenkernes oder die Änderung der Rotationsachsenlage nicht dienen, zumal die beobachteten Werte von  $B_2$  jedes Vorzeichen haben. In Bezug auf die erraticen Änderungen wurde die Häufigkeit von Zusammenstößen mit meteoritischem Material abgeschätzt. Dabei ergab sich, daß diese am unteren Rande der für die beobachteten Diskontinuitäten nötigen Größenordnung liegt. Ein Einschlag eines Objektes mit 100 t Masse ist etwa alle 20 Umläufe, eines solchen mit 100 000 t alle 2000 Umläufe zu erwarten. Aus heutiger Sicht ist dazu noch anzumerken, daß bei Asteroiden aller Größenordnungen, auch der kleinsten, keine meßbaren Änderungen der Bahn ersichtlich sind, wie auch diverse Rechnungen des Verfassers belegen. Die erraticen Anomalien von größenordnungsmäßig 10% der säkularen Änderung sind nach Meinung des Verfassers wohl überwiegend auf Ausströmungserscheinungen, Lichtausbrüche und ähnliche Ereignisse zurückzuführen. Allerdings ist dies keine Regel. Beispielsweise der Komet 1962VIII hatte erhebliche Aktivität, jedoch zeigen die Restfehler bei den Bahnrechnungen<sup>52</sup> keinerlei systematische Diskrepanzen. Ebenso sind bei dem für häufige Aktivitäten bekannten Kometen Schwaßmann-Wachmann 1 keine nichtgravitativen Kräfte nachweisbar.

Im fünften Teil der Untersuchungen<sup>53</sup> wurde eine andere Funktion für  $g_i(r)$  auf die bereits bearbeiteten Kometen und einige weitere angewendet. Durch Labormessungen war zwischenzeitlich die Sublimationsrate von Wassereis in Abhängigkeit von der Bestrahlung ermittelt worden<sup>54</sup>. Sie ähnelte der zuvor verwendeten Abhängigkeit mit  $C = 2, \alpha = 3$ . Die nichtgravitative Beschleunigung sollte daher für alle drei Komponenten proportional der Sublimationsrate zu

$$g(r) = \alpha \left(\frac{r}{r_o}\right)^{-m} \left[1 + \left(\frac{r}{r_o}\right)^n\right]^{-k} \quad 1.4$$

mit  $\alpha = 0.1113, r_o = 2.808 AE, m = 2.15, n = 5.093, k = 4.6142$  angenommen werden (siehe Abbildung 1.3). Die Konstanten hängen von der chemischen Zusammensetzung des Kometen ab, insbesondere  $r_o$ ; für Kohlendioxyd etwa ist  $r_o \approx 6 AE$ . Für die Kometen Brooks 2 und Schwaßmann-Wachmann 2 ergaben Werte von  $r_o > 4 AE$  eine zu schlechte Darstellung der Beobachtungen, bei Komet Tuttle  $r_o < 1 AE$  oder  $r_o > 10 AE$ , bei Komet 1960II Burnham  $r < 1.6 AE$  (wobei hier allerdings hauptsächlich  $A_1$  statt  $A_2$  in Erscheinung tritt). Zur Unterscheidung bezeichnet man diese Form der nichtgravitativen Kräfte als Stil 2, die frühere als Stil 1.

Im sechsten und letzten Teil<sup>55</sup> wurde die Bewegung des Kometen Encke im Zeitraum 1786 bis 1971 entsprechend untersucht, wobei die früheren Ergebnisse weitgehend bestätigt wurden. Die nichtgravitativen Effekte hatten ein Maximum um 1820 und fielen von dort an zu beiden Seiten hin etwa symmetrisch ab. Die Autoren erklärten dies durch eine Verlagerung der Rotationsachse. Allerdings ähnelt der zeitliche Verlauf eher einer Glockenkurve als einer Kreisfunktion.

Bei der Wiederkehr des Halleyschen Kometen 1909 hatten *P.H.Cowell* und *A.C.D.Crommelin*<sup>56</sup> erneut eine Verzögerung der Umlaufszeit um drei Tage gegenüber dem vorangegangenen Umlauf festgestellt, wovon zwei Tage nicht durch die Ungenauigkeiten der Berechnungen erklärbar waren. Bei einer späteren Untersuchung der Bewegung des Kometen will *D.K.Yeomans*<sup>57</sup> aus Beobachtungen der beiden Erscheinungen 1911 und 1835 signifikant  $r_o = 2.808 AE$  bestimmt haben. Dies erscheint jedoch fraglich. Erstens kann aus zwei Erscheinungen selten auch nur die säkulare Beschleunigung abgeleitet werden, geschweige denn deren Verlauf. Zweitens wurde  $A_1 = 0$  angenommen, die radiale Komponente bzw. eine Unsicherheit in deren Annahme wirkt sich hauptsächlich auf die äußeren Beobachtungen aus, die aber zur Feststellung eines bestimmten Verlaufes sehr wichtig sind. Drittens waren die von *Yeomans* verwendeten Beobachtungen erheblich feh-

<sup>52</sup> *B.G.Marsden*, IAU-Circ. 2043(1967)

<sup>53</sup> Astron.Journal **78**(1973),211

<sup>54</sup> *A.H.Delsemme, D.C.Müller*, Planetary and Space Science **19**(1971),1229; *A.H.Delsemme*, Proc.IAU-Coll. **22**(1973),305

<sup>55</sup> *ibid* **79**(1974),413

<sup>56</sup> Publ.Astron.Ges. **23**(1909),60; Monthly Not. Roy.Astron.Soc. **71**(1911),378

<sup>57</sup> Astron.Journ. **82**(1977),435

lerhaft<sup>58</sup> und in Anbetracht ihrer Streuung von 6" zu ungenau. Viertens ergaben die hier durchgeführten Untersuchungen eine deutlich geringere Abnahme der Kräfte, als gemäß Stil 2.

In der nachfolgenden Zeit wurden für etwa vierzig Kometen die nichtgravitativen Parameter bestimmt, seit 1979 auch vom Verfasser. Eine Übersicht gibt die Tab. 1.1. Bei einigen Kometen hatte der Verfasser versucht, auch Informationen über den Verlauf  $f(r)$  der nichtgravitativen Kräfte zu erhalten, was jedoch bei den betrachteten Kometen, hauptsächlich durch die geringe Anzahl der Beobachtungen in den äußeren Bahnteilen, nicht mit Signifikanz gelang. Der damals kurz bevorstehende Halleysche Komet bietet dazu in Anbetracht der zu erwartenden sehr hohen Zahl an Beobachtungen und seiner großen Helligkeit, die noch Beobachtungen in großer heliozentrischer Distanz ermöglicht, eine Gelegenheit, wie sie sich vermutlich bis zu seiner nächsten Wiederkehr nicht wiederholt. Nachdem der Komet am 16. Oktober 1982 in etwa 11 *AE* Entfernung<sup>59</sup> wiederentdeckt wurde, begann der Verfasser mit entsprechenden Berechnungen<sup>60</sup>, die später zum Thema der vorliegenden Arbeit wurden.

Über die Bemühungen von *Bessel* und *Whipple* hinaus wurden auch weitere Betrachtungen von der Seite der Physik der nichtgravitativen Kräfte durchgeführt, die jedoch keine brauchbaren Ergebnisse lieferten.

Grundsätzlich kann man die nichtgravitativen Kräfte über den Wärmehaushalt des Kometenkernes und die Sublimationsrate und -geschwindigkeit an der Oberfläche berechnen. Sind  $\mathbf{F}$  und  $\mathbf{f}$  Repulsivkraft und Beschleunigung des Kometen,  $M$ ,  $R$  und  $\varrho$  seine Masse, sein Radius und seine Dichte, und sind  $N$ ,  $\mu$ ,  $\mathbf{v}$ ,  $\mathbf{p} = \mu N \mathbf{v}$  Sublimationsrate pro Fläche, Molekulargewicht, Sublimationsgeschwindigkeit und Druck beim Oberflächenenelement  $d\mathbf{O}$ , so ist

$$\mathbf{F} = M\mathbf{f} = \oint \mathbf{p} d\mathbf{O} \quad 1.5$$

Ähnlich ergibt sich, wenn  $\mathbf{J}$  der Trägheitstensor und  $\boldsymbol{\omega}$  der Spinvektor des Kometen sind, für das repulsive Moment  $\mathbf{M}$  auf den Kometenkern

$$\mathbf{M} = \dot{\boldsymbol{\omega}}\mathbf{J} = \oint \mathbf{r} \times \mathbf{p} d\mathbf{O} \quad 1.6$$

mit  $\mathbf{M} = 0$  und  $\dot{\boldsymbol{\omega}} = 0$  im Falle eines sphärischen Kometenkernes.

Die Sublimationsrate und -geschwindigkeit ergibt sich für ein bestimmten Stoff unter vorgegebener Temperatur entweder empirisch oder aus der Thermodynamik<sup>61</sup>. Die Oberflächentemperatur ergibt sich aus Modellrechnungen des Wärmehaushaltes des Kometen. Aus der Kontinuitätsgleichung

$$\dot{q} - \nabla \cdot (\mathbf{j} + \mathbf{S}) - W = 0 \quad 1.7$$

( $q$  Wärmehalt pro Volumen,  $\mathbf{j}$  Wärmefluß,  $\mathbf{S}$  Wärmestrahlungsfluß,  $W$  Wärmeerzeugung abzgl. -verbrauch pro Volumen) ergibt sich unter Einführung des Wärmeleitungstensors  $\mathbf{K}$  und der Artwärme pro Gewicht  $c$  gemäß

$$\mathbf{j} = \mathbf{K} \nabla T \quad 1.8$$

$$q = \rho c T \quad 1.9$$

für den örtlichen und zeitlichen Verlauf der Temperatur  $T$  die Wärmeleitungsgleichung

$$\dot{T}(\rho c + [c \frac{d\rho}{dT} + \rho \frac{dc}{dT}]T) - \nabla \cdot (\mathbf{K} \nabla T) - W - \nabla \cdot \mathbf{S} = 0 \quad 1.10$$

Für die Oberflächentemperatur  $T_o$  folgt nach Anwendung des Satzes von Gauß und der Energiebilanz von Wärmeleitung zum Kometeninneren, Sublimationswärme und Strahlungsfluß von Sonne und Komet senkrecht zur Oberfläche

$$-K \nabla T|_o + L N + (\varepsilon \sigma T_o^4 - s) = 0 \quad 1.11$$

<sup>58</sup> Siehe dazu §§4.1,4.3

<sup>59</sup> nur 1"5 vom durch *V. V. Sawtschenko*, Kiev Komet Zirk. **295**(1982) vorausberechneten Ort

<sup>60</sup> die Ergebnisse der wohl ersten Bahnverbesserung nach der Wiederentdeckung siehe Sterne u. Weltr. **22**(1983),59

<sup>61</sup> siehe etwa *E. Clapeyron*, Abhandlung über die bewegende Kraft der Wärme. Leipzig 1926. 20ff.



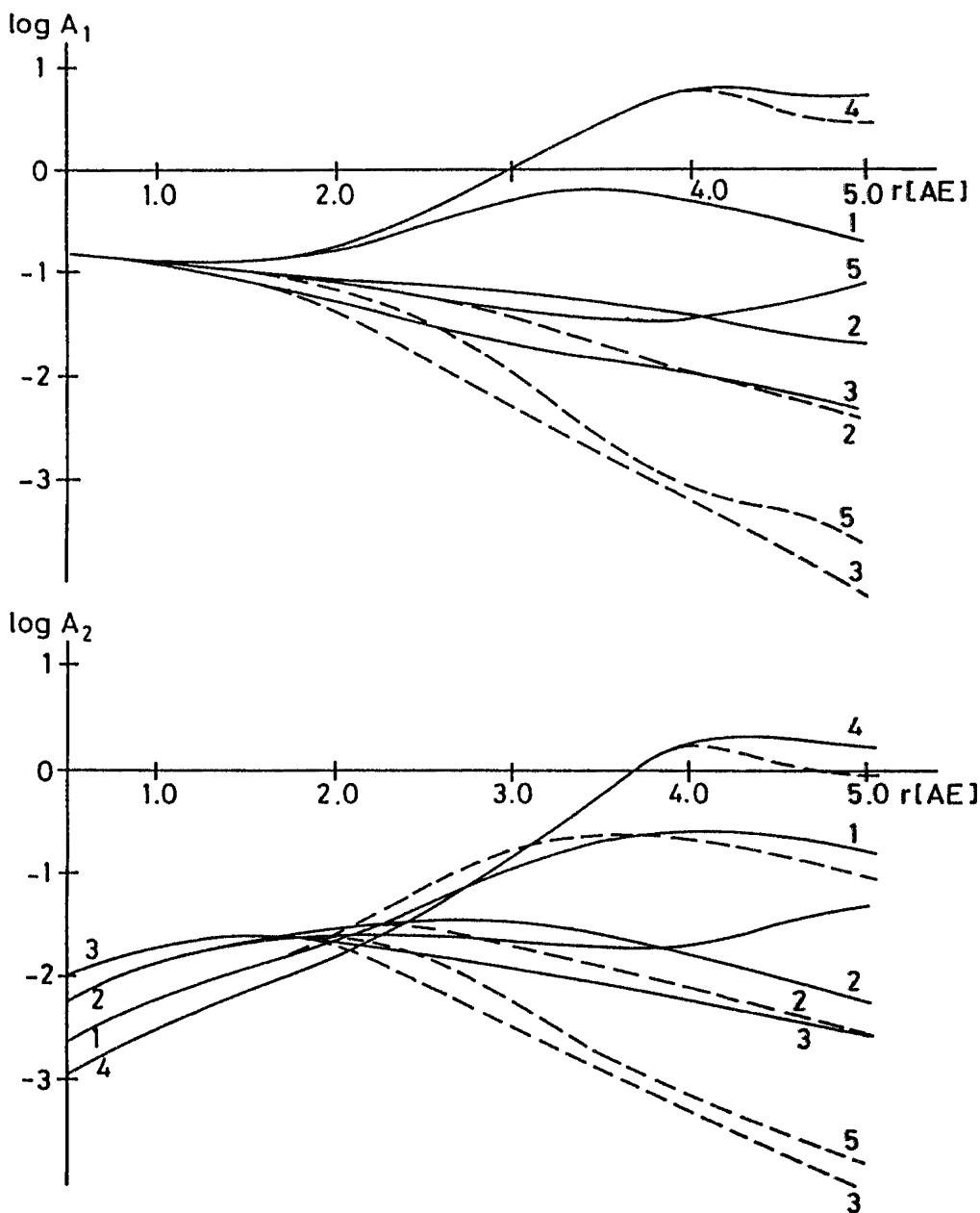


Abb. 1.4 Verlauf der nichtgravitativen Kräfte nach Rückmann und Froeschlé

Modelle 1-3: Rotationsdauer  $10^h$ , thermische Trägheit  $I_{th}$  130, 500, 1000. Modelle 4, 5: Rotationsdauer  $50^h$ ,  $I_{th}$  130, 1000. gestrichelt/durchgezogen: Verlauf vor/nach dem Perihel. Die Parameter beziehen sich auf Stil 2, die nichtgravitative Beschleunigung ist  $f(r) = A(r)g(r)$ .



welchem Umfang die Änderungen der nichtgravitativen Kräfte überhaupt auf Verlagerungen der Rotationsachse zurückgeführt werden können. Eine wichtige Kontrolle kann die Normalkomponente der Kräfte sein, die bei dem Verfahren von *Sekanina* nicht verwendet wird und bisher nur für wenige Kometen berechnet wurde. Für Komet Kopff erhielt der Verfasser 1984 aus Beobachtungen 1932 bis 1983  $A_3 = -0,04$ , aus den Erscheinungen 1958 bis 1983  $A_3 = -0,09$ , eine Untersuchung durch *G.Sitariski, B.Todorović-Juchniewicz* und *H.Rickman*<sup>77</sup> ergab  $A_3 = -0,28 + 0,02(t - 1964)$ . Nach dem Modell von *Sekanina* müßte dagegen  $A_3$  positiv sein.

Die Anwendung eines thermischen Modelles für den Halleyschen Kometen von *P.Mahr*<sup>78</sup> unter Verwendung der Rotationsachsenlage nach *Z.Sekanina* ergab eine schlechte Vorhersage für die Position des Kometen beim Vorbeiflug der Sonde *Giotto* im März 1986.

Zusammenfassend bergen die Modellrechnungen zwar keine grundsätzlichen Schwierigkeiten. Aufgrund der großen Zahl der eingehenden Parameter lassen sie jedoch gegenwärtig keinerlei Aussagen über den Verlauf der nichtgravitativen Kräfte zu. Wie die Ergebnisse der Bahnbestimmungen nahelegen, dürfte eine Theorie auch allenfalls für normale, nicht zerfallende oder erlöschende Kometen möglich sein. Ebenso muß man sich grundsätzlich mit einem bestimmten Genauigkeitsbereich von ca. 5% zufrieden geben, weil darunter erratische, nicht mehr zuverlässig modellierbare Effekte infolge der Aktivität des Kometen gegeben sind.

Als am meisten sinnvoll erscheint es derzeit, Aufschlüsse über den Verlauf der nichtgravitativen Kräfte aus den Beobachtungen zu erhalten. Der Verlauf des Betrages der Kraft hängt nicht von der Rotationsachsenlage und -dauer und der Figur des Kometen ab, und dürfte bei ähnlicher physikalischer Beschaffenheit für die verschiedenen Kometen ähnlich sein, was für die Bahnbestimmung und Ephemeridenrechnung von großem Wert wäre. Bei dem Vergleich mit den Modellrechnungen dürfte sich zumindest die thermische Trägheit des Kometenkernes abschätzen lassen. Wenn sich die Komponenten der nichtgravitativen Kraft in verschiedenen Bahnteilen ermitteln lassen, kann daraus die Lage der Rotationsachse erschlossen werden.

---

<sup>77</sup> Astron.Astrophys. **188**(1987),206

<sup>78</sup> ESO Giotto Flight Dynamics Report **1** No.4 (1986),17; siehe auch §4.1



Tabelle 1.1 Nichtgravitative Parameter der periodischen Kometen (Fortsetzung)

Komet	$q$	$P$	$N$	Zeitraum	$\Delta P$	$A_1$	$A_2$	$B_2$	Anmerkung
Wolf-Harrington	1,61	6,5	7	1924-1984	-0,04	+0,2	-0,05		
Wirtanen	1,62	6,7	6	1947-1987	-0,07	+0,5	-0,087		
Faye	1,64	7,4	18	1843-1984	-0,001	+0,1	-0,003	-	J 1899/0,51; J 1959/0,60
Tempel 1	1,70	5,9	7	1867-1983	0,00	0	0		J 1870/0,36
Comas Solá	1,77	8,5	7	1927-1979	+0,01	+1	-0,09		
Tsuchinshan 2	1,79	6,8	4	1965-1984		-1,2	-0,004		
Arend	1,82	7,8	4	1951-1975	-0,02	+0,1	-0,029		
Brooks 2	1,87	6,9	13	1889-1986	-0,11	+2	-0,2		J 1886/0,001; J 1922/0,086
Reinmuth 2	1,90	6,7	7	1947-1987	0	0	0		
Neujmin 3	1,98	10,6	3	1929-1972	0	0			
Reinmuth 1	2,0	7,6	7	1928-1980		+0,2	-0,028		
Schwaßmann-Wachmann 2	2,1	6,5	10	1929-1985	-0,05	+1	-0,18	+0,3	
Holmes	2,2	7,0	6	1892-1980	+0,02				J 1908/0,54
Johnson	2,3	6,9	6	1949-1984		+0,8	-0,027		
Kearns-Kwee	2,2	9,0	3	1963-1982		0	-0,4		
Ashbrook-Jackson	2,3	7,4	5	1948-1979		0	-0,012		
Gunn	2,5	6,8	4	1954-1982		+2	+0,6		
Whipple	2,5	7,5	8	1933-1986	-0,01	+0,6	-0,044		
Wolf	2,5	8,4	13	1884-1984	+0,002	+0,1	+0,008		
Oterma	3,4	7,9	3	1942-1962	0	0	0		
Smirnova-Chernikh	3,6	8,5	3	1967-1983	0	0	0		
Schwaßmann-Wachmann 1	5,5	16	4	1925-1974	0	0	0		

Die Tabelle enthält diejenigen periodischen Kometen, die auf nichtgravitative Kräfte hin untersucht wurden.  $q$  Periheldistanz,  $P$  Umlaufszeit in Jahren,  $N$  Anzahl der beobachteten Erscheinungen, anschließend Zeitraum derselben,  $\Delta P$  nichtgravitative Änderung der Umlaufszeit in Tagen je Umlauf,  $A_1, A_2$  radialer und transversaler nichtgravitativer Parameter,  $B_2$  relative säkulare Änderung von  $\Delta P$  und  $A_2$  in 10000 Tagen ( $e$  falls stark erratisch veränderliche Kräfte, - bei mäßigen erratischen Änderungen, + bei geringen erratischen und säkularen Änderungen). Unter Anmerkungen: J oder E Annäherungen an Jupiter oder Erde mit Jahr/Distanz.

## 2. Theoretische Grundlagen

### 2.1. Die Bewegungsgleichungen

#### 2.1.1. Gravitative Bewegung

##### 2.1.1.1. Bewegung im Gravitationsfeld eines Himmelskörpers

Vorgegeben sei eine Raumstruktur

$$ds^2 = g_{\mu\nu} dx^\mu dx^\nu \quad 2.1$$

Die Bewegung in solch einem Raum ergibt sich aus dem Prinzip der kleinsten Wirkung, nach dem sich ein Objekt verhält, um von einer Eigenzeit zu einer anderen zu gelangen:

$$W = \int L(\mathbf{x}, \dot{\mathbf{x}}) ds \rightarrow \min. \quad 2.2$$

mit

$$L = \frac{m}{2} = \frac{m}{2} g_{\mu\nu} \frac{dx^\mu}{ds} \frac{dx^\nu}{ds} \quad 2.3$$

( $m$  Ruhemasse,  $s/c$  Eigenzeit).

Die Lösung des Variationsproblems sind die Eulerschen Gleichungen

$$\frac{d}{ds} \frac{\partial L}{\partial dx^\lambda/ds} = \frac{\partial L}{\partial x^\lambda} \quad 2.4$$

Setzt man  $L$  ein, erhält man

$$\frac{d}{ds} \left( \frac{m}{2} g_{\mu\nu} \frac{dx^\nu}{ds} \right) = \frac{m}{2} [g_{\mu\nu} \frac{d^2 x^\nu}{ds^2} + \frac{1}{2} (g_{\mu\nu,\alpha} + g_{\mu\alpha,\nu}) \frac{dx^\nu}{ds} \frac{dx^\alpha}{ds}] = \frac{m}{2} \frac{dx^\nu}{ds} \frac{dx^\alpha}{ds} g_{\nu\alpha,\mu} \quad 2.5$$

also

$$\frac{d^2 x^\lambda}{ds^2} = -\Gamma_{\nu\alpha}^\lambda \frac{dx^\nu}{ds} \frac{dx^\alpha}{ds} \quad 2.6$$

mit

$$\Gamma_{\nu\alpha}^\lambda = \frac{1}{2} (g_{\mu\nu,\alpha} + g_{\mu\alpha,\nu} - g_{\nu\alpha,\mu}) / g_{\lambda\mu} \quad 2.7$$

Darin kann man die beidseitig auftretenden Differentiale nach der Eigenzeit auch weglassen oder durch die Ableitung nach einem anderen Parameter, insbesondere der Koordinatenzeit, ersetzen. Nachfolgend verwenden wir die Bezeichnungen  $x = x^1, y = x^2, z = x^3$  für die räumlichen Koordinaten,  $t = x^4$  für die Koordinatenzeit, sowie  $r^2 = x^2 + y^2 + z^2$  und  $\mathbf{r} \cdot \mathbf{v} = x \frac{d}{dt} x + y \frac{d}{dt} y + z \frac{d}{dt} z = r \frac{d}{dt} r$ .

a) Standardkoordinaten der Schwarzschildmetrik

Der Raum um einen Massenpunkt wird durch die Schwarzschildlösung der Einsteinschen Feldgleichungen beschrieben<sup>1</sup>:

$$ds^2 = [1 - 2\frac{\mu}{r}] dt^2 - 2\frac{\mu}{r} dr^2 - (dx^2 + dy^2 + dz^2) \quad 2.8$$

Die hier auftretenden Koordinaten  $x, y, z$  nennt man *Standardkoordinaten* der Schwarzschildmetrik. Das formale Ausrechnen der  $\Gamma$  aus den abgelesenen  $g_{ij}$  ergibt die Bewegungsgleichungen

$$\frac{d^2 x^k}{dt^2} = -\frac{\mu}{r^3} x^k + \frac{2}{r^3} \frac{\mu}{c^2} \left( \left[ \mu \frac{1}{r} - v^2 + \frac{(\mathbf{r} \cdot \mathbf{v})^2}{r^2} \right] \left( 1 + \frac{1}{2(1 - 2\frac{\mu}{c^2} \frac{1}{r})} \right) \right) x^k + \frac{\mathbf{r} \cdot \mathbf{v}}{1 - 2\frac{\mu}{c^2} \frac{1}{r}} \frac{d}{dt} x^k \quad (k = 1, 2, 3) \quad 2.9$$

---

<sup>1</sup> Auf deren Ableitung kann hier nicht eingegangen werden; siehe dazu *H. Stephani, Allgemeine Relativitätstheorie*. Berlin 1977. 95ff.



Der erste Effekt bewirkt bei dem hier betrachteten Kometen nur Positionsänderungen von unter  $0''1$  pro Umlauf. In der heliozentrischen Position der Erde beträgt der Fehler pro Jahrhundert etwa  $0''05$ . Die Berechnung der Position der Erde muß sehr genau erfolgen, da sie für die Berechnungen grundlegend ist. Insbesondere hat sich der Halleysche Komet in den Jahren 1835/6 und 1910/1 der Erde erheblich genähert, sodaß sich bei Vernachlässigung der relativistischen Effekte ein systematischer Fehler in der Darstellung der erdbezogenen Positionen von etwa  $1''$  ergeben würde. Darüber hinaus werden die Ephemeriden der großen Planeten heutzutage standardmäßig relativistisch berechnet. Für verschiedene Zwecke, wie Bahnrechnungen der erdnahen Kleinplaneten, ist dies auch erforderlich. Es sollte vermieden werden, von Fall zu Fall die Grundlagen zu wechseln. Der rechnerische Aufwand der Mitnahme der relativistischen Effekte ist zudem sehr gering. Daher wurde dies bei allen vorliegenden Rechnungen durchgeführt.

### 2.1.1.2. Mehrkörperproblem

Sind mehrere Massenpunkte vorhanden, so können außer in praktisch nicht vorkommenden Ausnahmefällen ( $r < \mu/c^2$ ) wegen der Korrespondenz der Einsteinschen Feldgleichungen mit dem Newtonschen Gravitationsgesetz die von ihnen hervorgerufenen Metriken aufaddiert werden. Für jeden Planeten tritt daher in der Bewegungsgleichung ein der rechten Seite entsprechender Term hinzu, wobei die Position des betrachteten Objektes vom jeweiligen Planeten aus zu rechnen ist. In der Praxis ist es völlig ausreichend, bei den Planeten nur den klassischen Anteil zu berücksichtigen. Die Bewegungsgleichungen für das  $i$ -te Objekt sind dann

$$\ddot{x}_i^k = - \sum_{j \neq i}^n \frac{\mu_j}{r_{ij}^3} (x_i^k - x_j^k) + \Delta \ddot{x}_i^k \quad 2.12$$

( $j$  Index der restlichen Objekte,  $n$  Anzahl an Objekten), Dabei sind  $\Delta \ddot{x}^k$  die relativistischen Effekte je nach Art der verwendeten Koordinaten. Die relativistische Beschleunigung des Zentralkörpers durch die Gravitation der Planeten beträgt insgesamt  $\mu(1 + v^2/2) \Delta \ddot{x}^k = - \sum_j^n \mu_j (1 + v_j^2/2) \Delta \ddot{x}_j^k$ , sie sollte berücksichtigt werden, damit der Schwerpunkt des Systemes durch die gegenseitigen relativistischen Effekte nicht beschleunigt wird.

In der Praxis verwendet man statt den Koordinaten häufig die formalen Koordinatendifferenzen zum Zentralkörper, sodaß dieser stets die 'Koordinaten'  $(0, 0, 0)$  hat. Zieht man in der Bewegungsgleichung des Zentralkörpers und des betrachteten Körpers den Term des jeweils anderen vor die Summe, und subtrahiert beide Gleichungen voneinander, erhält man als Bewegungsgleichung ausgedrückt in den Koordinatendifferenzen, die wir hier einmal ebenfalls mit  $x^k$  bezeichnen wollen,

$$\ddot{x}_i^k = - \frac{(\mu + \mu_i)}{r_i^3} x^k + \sum_{j \neq i}^n \mu_j \left( \frac{x_i^k - x_j^k}{r_{ij}^3} - \frac{s_i^k}{r_j^3} \right) + (\Delta \ddot{x}_i^k - \Delta \ddot{x}^k) \quad 2.13$$

Die ersten Terme in der mittleren Klammer sind die *direkten* Störungsterme, die auch im Inertialsystem auftraten, die zweiten nennt man die *indirekten* durch die Störungen der Planeten auf die Sonne.

### 2.1.1.3. Die Bewegung des Erde-Mond-Systemes

Eine besondere Betrachtung ist bei Anwesenheit von zwei verhältnismäßig benachbarten Himmelskörpern erforderlich, konkret für die Bewegung des Erde-Mond-Systemes. Man kann zwar die Bewegung von Erde und Mond als zwei getrennte Objekte numerisch berechnen. Dieses Verfahren ist aber sehr unökonomisch. Die Berechnung geschieht in der Praxis durch numerische Integration (s. §2.3). Die Rechnung müßte mit unverhältnismäßig kleiner Schrittweite erfolgen, damit nicht durch kleine Ungenauigkeiten die benachbarten Objekte auseinanderlaufen, und damit die Ergebnisse noch brauchbar interpoliert werden können. Um hier keine erratischen Ergebnisse zu erhalten, muß die Schrittweite wesentlich kleiner als ein siderischer Monat sein, während ohne den gegenseitigen Störungen die Jahreslänge maßgeblich wäre. In der Praxis könnte bei längeren Rechnungen eine Schrittweite von 0,4 Tagen nicht überschritten werden<sup>8</sup>. Darüber hinaus sind für Erde und Mond in den Bewegungsgleichungen zusätzliche rechenintensive Terme wegen ihrer Figur und zur Librationsdämpfung zu berücksichtigen<sup>9</sup>.

<sup>8</sup> siehe auch C.Oesterwinter, C.J.Cohen, NWL Technical Report No. TR-2693(1972), 78-81

<sup>9</sup> *ibid.* 22-36

Die Bewegung des Schwerpunktes von Erde und Mond (*Baryzentrum*) ist von ihren gegenseitigen Störungen weitaus geringfügiger betroffen. Die Bewegungsgleichung für seine Position  $(\mu_E + \mu_M)\mathbf{x}_B = \mu_E\mathbf{x}_E + \mu_M\mathbf{x}_M$  erhält man sofort durch zweimaliges Ableiten nach der Zeit und Einsetzen der Bewegungsgleichungen von Erde und Mond. Dabei fallen die direkten Terme der gegenseitigen Störungen mit der kleinen gegenseitigen Distanz im Nenner heraus, und die verbleibende Differenz der indirekten Terme ist sehr klein. Dies ist im Wesentlichen die *reactio* auf die Störungen der Sonne durch die 'Figur' des Erde-Mond-Systemes. Hauptsächlich entsteht eine Periheldrehung um  $6''7$  pro Jahrhundert<sup>10</sup>.

Zur Vermeidung der genannten Schwierigkeiten ist es daher zweckmäßig, die Bewegung des Baryzentrums zu integrieren. Für die hierbei noch verbliebenen Terme können die Position von Erde und Mond mit völlig ausreichender Genauigkeit durch eine genäherte Berechnung der geozentrischen Mondposition und Anwendung der Definition des Schwerpunktes erhalten werden. Statt der Erdposition interpoliert man bei Bedarf die des Baryzentrums und berechnet die Relativposition ebenfalls analytisch (s. §2.5.2).

### 2.1.1. Nichtgravitative Bewegung

Für die nichtgravitative Bewegung läßt sich noch keine Theorie ableiten. In Anlehnung an *Marsden* und *Sekanina* sowie aus dem Gesichtspunkt einer praktischen Handhabung (s. §2.4) soll einstweilen als Ansatz eine Superposition mehrerer Funktionen für die radiale, transversale und normale Kraft, jeweils separiert in den explizit entfernungs- und zeitabhängigen Anteil, verwendet werden (s. Gl. 2.37, 2.56).

## 2.2. Die Anfangswerte und oskulierenden Elemente

Die Bewegungsgleichungen sind Differentialgleichungen zweiter Ordnung der Koordinaten nach der Zeit, sodaß sechs *Initialwerte* nötig sind. Bei Verwendung der Bewegungsgleichungen in der obigen Form sind dies Ort und Geschwindigkeit  $\mathbf{x}, \dot{\mathbf{x}}$ .

Im klassischen Ein- und Zweikörperproblem tritt auf der rechten Seite der Bewegungsgleichungen nur der erste Term auf. Die Integration kann dann geschlossen durchgeführt werden<sup>11</sup>, wobei sich eine Bewegung gemäß der Keplerschen Gesetze ergibt. Die für die Beschreibung der Bewegung sowie für die Anschauung zweckmäßigsten Integrationskonstanten sind die sechs klassischen Bahnelemente  $T, q$  bzw.  $M, a$  sowie  $e, \omega, i$ . Aus diesen Elementen lassen sich  $\mathbf{x}$  und  $\dot{\mathbf{x}}$  für einen vorgegebenen Zeitpunkt berechnen, umgekehrt folgen aus gegebenen  $\mathbf{x}, \dot{\mathbf{x}}$  die klassischen Elemente. Für den Zusammenhang zwischen Ort und Geschwindigkeit und den Elementen gelten die Beziehungen<sup>12</sup>

$$\begin{aligned} k\sqrt{p}\sin i \sin \Omega &= y\dot{z} - z\dot{y} \\ k\sqrt{p}\sin i \cos \Omega &= x\dot{z} - z\dot{x} \\ k\sqrt{p}\cos i &= x\dot{y} - y\dot{x} \end{aligned} \tag{2.14}$$

$$\begin{aligned} e \sin v &= \frac{\sqrt{p}}{kr}(x\dot{x} + y\dot{y} + z\dot{z}) \\ e \cos v &= \frac{p}{r} - 1 \end{aligned} \tag{2.15}$$

$$\begin{aligned} r \cos u &= x \cos \Omega + y \sin \Omega \\ r \sin u &= (-x \sin \Omega + y \cos \Omega) \sec i \end{aligned} \tag{2.16}$$

$$\begin{aligned} a &= p/(1 - e^2) \\ \mu &= k/|a|^{1.5} \\ \omega &= u - v \end{aligned} \tag{2.17}$$

<sup>10</sup> siehe etwa *P.Bretagnon*, *Astron.Astrophys.* **84**(1980),340

<sup>11</sup> siehe etwa *J.Bauschinger*, *Die Bahnbestimmung der Himmelskörper*. 2.Aufl., Leipzig 1928. 126ff

<sup>12</sup> *ibid.* 348; *K.Stumpff*, *Himmelsmechanik*. Berlin 1951. **1**,180,190f.





Durch Linearkombinationen dieser Gleichungen erhält man die gesuchten Integrationsformeln.

### 2.3.1. Die Integrationsformeln

a) Berechnung von  $(x_{-1} - x_o)$  aus  $(x_o - x_1)$

Hierfür erhalten wir

$$\begin{aligned}(x_{-1} - x_o) - (x_o - x_1) &= x_1 + x_{-1} - 2x_o = \dot{x}_o[1 - 1] + \sum_n \Delta^n \left( \int_o^1 \int + \int_o^{-1} \int \right) \alpha_n dt \\ &= \Delta^0 + \frac{1}{12}\Delta^2 - \frac{1}{12}\Delta^3 + \frac{19}{240}\Delta^4 \dots\end{aligned}\tag{2.23}$$

Mit dieser Formel, dem *Prediktor*, wird zunächst über den Bereich hinausextrapoliert, innerhalb dessen die Interpolationsformel der Funktion angepaßt ist. Nachdem der Wert der Differentialgleichung für den neuen Punkt berechnet und das neue Differenzenschema gebildet ist, kann das Integral durch die folgende Formel, nunmehr innerhalb des Gültigkeitsbereiches der Interpolationsformel, verbessert werden.

b) Berechnung von  $(x_o - x_1)$  aus  $(x_1 - x_2)$

Hier ergibt sich

$$\begin{aligned}(x_o - x_1) - (x_1 - x_2) &= x_o - 2x_1 + x_2 = \dot{x}_o[2 - 2] + \sum_n \Delta^n \left( \int_o^2 \int - 2 \int_o^1 \int \right) \alpha_n dt \\ &= \Delta^0 + \Delta^1 + \frac{1}{12}\Delta^2 - \frac{1}{240}\Delta^4 \dots\end{aligned}\tag{2.24}$$

Diese Formel, der *Korrektor*, erlaubt die Verbesserung des mit dem Prediktor abgeschätzten Ergebnisses.

c) Berechnung von  $\dot{x}_{-1}$  aus  $\dot{x}_o$

$$\begin{aligned}\dot{x}_{-1} - \dot{x}_o &= \sum_n \Delta^n \int_o^{-1} \alpha_n dt \\ &= -\Delta^0 + \frac{1}{2}\Delta^1 - \frac{5}{12}\Delta^2 + \frac{3}{8}\Delta^3 - \frac{251}{720}\Delta^4 \dots\end{aligned}\tag{2.25}$$

Diese Formel ist der Prediktor für die Geschwindigkeit.

d) Berechnung von  $\dot{x}_0$  aus  $\dot{x}_1$

$$\begin{aligned}\dot{x}_0 - \dot{x}_1 &= -\sum_n \Delta^n \int_o^1 \alpha_n dt \\ &= -\Delta^0 - \frac{1}{2}\Delta^1 + \frac{1}{12}\Delta^2 - \frac{1}{24}\Delta^3 + \frac{19}{720}\Delta^4 \dots\end{aligned}\tag{2.26}$$

Korrektor für die Geschwindigkeit. Falls die Geschwindigkeiten zwar zu integrieren sind, aber - etwa bei Vernachlässigung der relativistischen Terme - nicht in die Bewegungsgleichungen eingehen, braucht nur dieser Korrektor angewendet zu werden.

e) Berechnung von  $\dot{x}_0$  aus  $(x_o - x_1)$

$$\begin{aligned}\dot{x}_0 - (x_1 - x_o) &= -\sum_n \Delta^n \int_o^1 \alpha_n dt \\ &= -\frac{1}{2}\Delta^0 - \frac{1}{6}\Delta^1 + \frac{1}{24}\Delta^2 - \frac{1}{45}\Delta^3 + \frac{7}{480}\Delta^4 \dots\end{aligned}\tag{2.27}$$

Diese Form des Korrektors für die Geschwindigkeit ermöglicht ihre Berechnung aus der Koordinatendifferenz  $x_o - x_1$ . Dies ist von Bedeutung, wenn die Geschwindigkeiten nur gelegentlich gebraucht werden - etwa für

die Berechnung oskulierender Elemente - und daher nicht mitintegriert werden sollen. Aber auch allgemein ist die Integration der Geschwindigkeiten zusammen mit den Koordinaten durch *e)* und *f)* vorzuziehen gegenüber der durch *d)* und *e)*, damit sich nach längerer Rechnung nicht die Geschwindigkeiten von den Koordinaten entfernen.

*f)* Berechnung von  $\dot{x}_{-1}$  aus  $(x_o - x_1)$   
Addieren von *c)* und *e)* ergibt

$$\dot{x}_{-1} - (x_1 - x_o) = -\frac{3}{2}\Delta^0 + \frac{1}{3}\Delta^1 - \frac{3}{8}\Delta^2 + \frac{127}{360}\Delta^3 - \frac{481}{1440}\Delta^4 \dots \quad 2.28$$

Der zu *e)* gehörende Prediktor für die Geschwindigkeit. Er wird benötigt, wenn die Geschwindigkeiten in die Bewegungsgleichung eingehen, etwa bei Berücksichtigung der relativistischen Terme.

Es sei noch angemerkt, daß sich auf ähnliche Weise auch Integrationsformeln mit besonderen Eigenschaften herleiten lassen, etwa solche, die mehr als zwei Differenzen der bereits berechneten Koordinaten oder Geschwindigkeiten, im Übrigen aber nur die geraden oder ungeraden Differenzen der Beschleunigungen, enthalten.

### 2.3.2. Umwandlung der Anfangswerte in Anfangsrandwerte

Anfangs liegen nur  $x$  und  $\dot{x}$  für einen Zeitpunkt vor. Um die Integrationsformeln anwenden zu können, müssen daraus die Differenzen der Koordinaten von zwei um eine Schrittweite voneinander entfernten Zeiten sowie das Differenzenschema, also letztlich die Koordinaten für mehrere umliegende Zeiten, berechnet werden.

Durch Einsetzen der Zeiten  $t = 1, 2, 3, \dots$  in Gl. 2.21, 2.22 erhält man

$$\begin{aligned} t=1: \quad x_1 - x_o &= \dot{x}_o + \sum_n \Delta^n \int_o^1 \alpha_n dt = \frac{1}{2}\Delta^0 + \frac{1}{6}\Delta^1 - \frac{1}{24}\Delta^2 + \frac{1}{45}\Delta^3 - \frac{21}{1440}\Delta^4 \dots \\ t=2: \quad x_2 - x_o &= 2\dot{x}_o + \sum_n \Delta^n \int_o^2 \alpha_n dt = 2\Delta^0 + \frac{8}{6}\Delta^1 + \frac{2}{45}\Delta^3 - \frac{1}{30}\Delta^4 \dots \\ t=3: \quad x_3 - x_o &= 3\dot{x}_o + \sum_n \Delta^n \int_o^3 \alpha_n dt = \frac{9}{2}\Delta^0 + \frac{9}{2}\Delta^1 + \frac{9}{8}\Delta^2 + \frac{3}{20}\Delta^3 - \frac{9}{160}\Delta^4 \dots \quad 2.29 \\ t=4: \quad x_4 - x_o &= 4\dot{x}_o + \sum_n \Delta^n \int_o^4 \alpha_n dt = 8\Delta^0 + \frac{32}{3}\Delta^1 + \frac{32}{6}\Delta^2 + \frac{64}{45}\Delta^3 \dots \\ t=5: \quad x_5 - x_o &= 5\dot{x}_o + \sum_n \Delta^n \int_o^5 \alpha_n dt = \frac{25}{2}\Delta^0 + \frac{125}{6}\Delta^1 + \frac{125}{8}\Delta^2 + \frac{25}{36}\Delta^3 + \frac{125}{96}\Delta^4 \dots \end{aligned}$$

usw., sowie

$$\begin{aligned} t=1: \quad \dot{x}_1 - \dot{x}_o &= \sum_n \Delta^n \int_o^1 \alpha_n dt = \Delta^0 + \frac{1}{2}\Delta^1 + \frac{1}{12}\Delta^2 + \frac{1}{24}\Delta^3 + \frac{19}{720}\Delta^4 \dots \\ t=2: \quad \dot{x}_2 - \dot{x}_o &= \sum_n \Delta^n \int_o^2 \alpha_n dt = 2\Delta^0 + 2\Delta^1 + \frac{1}{3}\Delta^2 - \frac{1}{90}\Delta^4 \dots \\ t=3: \quad \dot{x}_3 - \dot{x}_o &= \sum_n \Delta^n \int_o^3 \alpha_n dt = 3\Delta^0 + \frac{9}{2}\Delta^1 + \frac{9}{4}\Delta^2 + \frac{3}{8}\Delta^3 - \frac{3}{80}\Delta^4 \dots \quad 2.30 \\ t=4: \quad \dot{x}_4 - \dot{x}_o &= \sum_n \Delta^n \int_o^4 \alpha_n dt = 4\Delta^0 + 8\Delta^1 + \frac{20}{3}\Delta^2 + \frac{8}{3}\Delta^3 + \frac{14}{45}\Delta^4 \dots \\ t=5: \quad \dot{x}_5 - \dot{x}_o &= \sum_n \Delta^n \int_o^5 \alpha_n dt = 5\Delta^0 + \frac{25}{2}\Delta^1 + \frac{175}{24}\Delta^2 + \frac{75}{8}\Delta^3 + \frac{425}{144}\Delta^4 \dots \end{aligned}$$

usw.









ferner

$$\delta f_j^h(r) = \frac{df_j^h(r)}{dr} \delta r = \frac{df_j^h(r)}{r dr} \sum_{l=1}^3 x^l \delta x^l \quad \text{mit } j = 1, 2, 3; h = r, s, t \quad 2.46$$

und

$$\delta b_j^h(t, \mathbf{P}) = \sum_{l=1}^p \frac{\partial b_j^h(t, \mathbf{P})}{\partial P_l} \delta P_l \quad \text{mit } j = 1, 2, 3; h = r, s, t \quad 2.47$$

wobei man in der Praxis natürlich nur über die in den  $\mathbf{b}$  enthaltenen Parametern  $\mathbf{B}$  summieren muß.

Die Variation des vorderen Teiles der Bewegungsgleichung ergibt unter Anwendung von

$$\delta \frac{x^k}{r^3} = -\frac{3x^k}{r^5} \sum_{l=1}^3 x^l \delta x^l + \frac{\delta x^k}{r^3}$$

dann

$$\delta \ddot{x}^k = \sum_{l=1}^3 \left\{ (\mu + \mu_i) \left[ \frac{3x^l x^k}{r^5} - \frac{\delta_{lk}}{r^3} \right] + \sum_{\substack{j=2 \\ j \neq i}}^n \mu_j \left[ \frac{3(x^l - x_j^l)(x^k - x_j^k)}{r_{ij}^5} - \frac{\delta_{lk}}{r_{ij}^3} \right] \right\} \delta x_i^l + \delta \triangle \ddot{x}^k \quad 2.48$$

Setzt man darin Gl. 2.40 bis 2.47 ein und ordnet die Terme als Vorfaktoren der  $\mathbf{x}, \dot{\mathbf{x}}$  und  $\mathbf{P}$ , lesen sich anhand Gl. 2.31 die  $\mathbf{g}$  und  $\mathbf{g}'$  ab zu

$$\begin{aligned} g_l^k = & (\mu + \mu_i) \left[ \frac{3x^l x^k}{r^5} - \frac{\delta_{lk}}{r^3} \right] + \sum_{\substack{j=2 \\ j \neq i}}^n \mu_j \left[ \frac{3(x^l - x_j^l)(x^k - x_j^k)}{r_{ij}^5} - \frac{\delta_{lk}}{r_{ij}^3} \right] \\ & + \left( -\frac{x^k x^l}{r^3} + \frac{\delta_{kl}}{r} \right) \cdot \left( \sum_r A_1^r f_1^r b_1^r \right) \\ & + \frac{1}{\alpha} \left( 2\dot{x}^k x^l - x^k \dot{x}^l + \frac{a_2^k}{\alpha} \{ r^2 r' x^l - (2r^2 v^2 - r'^2) x^l \} - r' \delta_{kl} \right) \cdot \left( \sum_t A_2^t f_2^t b_2^t \right) \\ & + \left( \frac{r^2}{\alpha^2} a_3^k [r' x^l - v^2 x^l] + \frac{r}{\alpha} \sum_{i=3}^3 \dot{x}^i \varepsilon_{kli} \right) \cdot \left( \sum_n A_3^n f_3^n b_3^n \right) \\ & + a_1^k \left( \sum_r A_1^r \frac{df_1^r}{r dr} b_1^r \right) + a_2^k \left( \sum_t A_2^t \frac{df_2^t}{r dr} b_2^t \right) + a_3^k \left( \sum_n A_3^n \frac{df_3^n}{r dr} b_3^n \right) \end{aligned} \quad 2.49$$

und

$$\begin{aligned} g_l'^k = & \frac{1}{\alpha} \left[ -x^k x^l + \frac{a_2^k}{\alpha} (r^2 r' x^l - r^4 \dot{x}^l) + r^2 \delta_{kl} \right] \left( \sum_t A_2^t f_2^t b_2^t \right) \\ & + \left[ \frac{r^2}{\alpha^2} (r' x^l - r^2 \dot{x}^l) + \frac{r}{\alpha} \sum_{i=1}^3 \dot{x}^i \varepsilon_{kil} \right] \left( \sum_n A_3^n f_3^n b_3^n \right) \end{aligned} \quad 2.50$$

(jeweils für  $k = 1, 2, 3; l = 1, 2, 3$ ) sowie die expliziten Ableitungen der Bewegungsgleichungen nach den Parametern zu

$$\frac{\partial \ddot{x}^k}{\partial A_j^h} = a_j^k f_j^h(r) b_j^h \quad 2.51$$

für die Parameter  $A_j^h$ ,

$$\frac{\partial \ddot{x}^k}{\partial P_l} = a_j^k A_j^h f_j^h(r) \frac{\partial b_j^h}{\partial P_l} \quad 2.52$$

für die in den  $b$  vorkommenden Parameter  $P_l$ , und

$$\frac{\partial \ddot{x}^k}{\partial P_l} = a_j^k b_j^h(t) \frac{\partial f_j^h}{\partial P_l} \quad 2.53$$

für die in den Kräfteverläufen  $\mathbf{f}$  vorkommenden Parameter.

Die Ableitungen der  $f_j^h$  und der  $b_j^h$  hängen von deren expliziten Form ab.

a) Stil 1.

Hier haben wir

$$\ln f = -\frac{r^2}{C} - \alpha \ln r \quad 1.2'$$

also

$$\frac{1}{f} df = -\left(\frac{\alpha}{r} + \frac{2r}{C}\right) dr - \ln r d\alpha + \frac{r^2}{C^2} dC \quad 2.54$$

b) Stil 2.

Hier ist

$$\ln f = \ln \alpha - m(\ln r - \ln r_0) - k \operatorname{addln}[-n(\ln r - \ln r_0)] \quad 1.4'$$

mit  $\operatorname{addln}(x) = \ln(1 + e^{-x})$ ,  $d \operatorname{addln}(x) = -(1 - 1/[1 + e^{-x}]) dx$ , also

$$\begin{aligned} \frac{1}{f} df = & -\left(m + nk\left\{1 - 1/[1 + (\frac{r}{r_0})^n]\right\}\right) \frac{1}{r} dr \\ & + \left(m + nk\left\{1 - 1/[1 + (\frac{r}{r_0})^n]\right\}\right) \frac{1}{r_0} dr_0 \\ & - k \ln\left(\frac{r}{r_0}\right) \left(1 - 1/[1 + (\frac{r}{r_0})^n]\right) dn \\ & - \ln\left(1 - 1/[1 + (\frac{r}{r_0})^n]\right) dk \\ & - \ln\left(\frac{r}{r_0}\right) dm \\ & + (1/\alpha) d\alpha \end{aligned} \quad 2.55$$

Dabei betreffen die Koeffizienten von  $dr$  die letzten Terme der  $\mathbf{g}$  in Gl. 2.49, während die restlichen die  $\partial f_j^h / \partial P_l$  in Gl. 2.53 darstellen.

Für die Zeitabhängigkeit wird, solange keine besseren Kenntnisse vorhanden sind, in Anlehnung an die Arbeiten von *B. G. Marsden* und *Z. Sekanina* (s. §1) der Ansatz  $b(t, B) = e^{-Bt}$  oder  $b(t, B) = 1 - Bt$  mit  $B$  als Parameter gemacht. Entsprechend ist dann  $\partial b(t, B) / \partial B = -B \cdot b(t, B)$  bzw.  $\partial b(t, B) / \partial B = -B$ . Falls sich für einen Kräfteanteil das zugehörige  $b$  als verhältnismäßig groß erweist, so daß über den Zeitraum hinweg, aus dem die Parameter zu bestimmen sind,  $b(t, B)$  erheblich von 1 abweicht, oder falls das betreffende  $A$  sehr klein ist, ist es geboten, in Gl. 2.37 ff. diese Veränderung nicht mit  $A \cdot b(t, \mathbf{P})$ , sondern etwa mit  $A + t \cdot A'(\mathbf{P})$  zu beschreiben, damit keine Produkte von zu bestimmenden Parametern auftreten, was zu erheblichen Schwierigkeiten bei ihrer Berechnung führen kann.

Der tatsächliche Verlauf  $f_j$  der nichtgravitativen Kräfte ließe sich erschließen, indem man für die  $f_j^h(r)$  geeignete, zueinander orthogonale Funktionen - etwa die reziproken Potenzen - annimmt und durch Bestimmen der Koeffizienten  $A_j^h$  als Parameter ihre 'spektrale Verteilung' erhält. Dies ist in der Praxis mangels ausreichender Beobachtungen nicht möglich.

Stattdessen sollten hier zu einem vorgegebenen Verlauf die Parameter  $A_i^h$  für  $m$  verschiedene Intervalle  $[\mathbf{r}]_j$  der Bahn bestimmt werden. Wir haben dann

$$\begin{aligned} \Delta \ddot{x}^k[r]_j = & a_1^k A_1^l b_1^l f_1^l + a_2^k A_2^l b_2^l f_2^l + a_3^k A_3^l b_3^l f_3^l \\ = & a_1^k \sum_{l=1}^m A_1^l b_1^l(t, \mathbf{P}) f_1^l(r, \mathbf{P}) \delta_{jl} + a_2^k \sum_{l=1}^m A_2^l b_2^l(t, \mathbf{P}) f_2^l(r, \mathbf{P}) \delta_{jl} + a_3^k \sum_{l=1}^m A_3^l b_3^l(t, \mathbf{P}) f_3^l(r, \mathbf{P}) \delta_{jl} \end{aligned} \quad 2.56$$

Aus dem Vergleich mit Gl. 2.37 folgt daher, daß die betreffenden  $\mathbf{g}$ ,  $\mathbf{g}'$ ,  $\partial f_j^h / \partial P$  aus den Gl. 2.49 ff. folgen, wenn die dortigen  $r, t, n$  und  $h$  durch den Index  $j$  des Bahnstückes ersetzt werden.

## 2.5. Der Vergleich einer Theorie mit Beobachtungen

Aufschluß über die Bewegung der Himmelskörper erhalten wir durch ihre Beobachtung. Für eine quantitative Erfassung und Entwicklung oder Verbesserung einer Bewegungstheorie sind Messungen nötig. Im Falle einer relativistischen Umgebung ist eine besonders genaue Spezifizierung der Observablen und Rückführung derselben auf die Modellparameter notwendig.

Die Verbindung zwischen den zur Beschreibung der Bewegung verwendeten Größen  $\mathbf{x}$  und den Observablen besteht im Wesentlichen erstens in der Bewegung des Lichtes zum Beobachter, zweitens im zu ermittelnden Ort des Beobachters  $\mathbf{x}_B$ , und drittens in der Verknüpfung des von ihm verwendeten Koordinatensystemes zu dem globalen.

Beobachtet wird die Richtung, in welcher das Objekt für den Beobachter sichtbar ist. Dies ist die Richtung, aus dem das Licht nach dem Prinzip der kleinsten Wirkung<sup>26</sup> vom Objekt zum Beobachter gelangt ist. Gemessen werden zwei Winkel  $\alpha, \delta$  in einem beim Beobachter mittransportierten Minkowski-System, die mit den Koordinatendifferenzen  $\Delta$  zusammenhängen gemäß

$$\Delta = \begin{pmatrix} \Delta \cos \delta \cos \alpha \\ \Delta \cos \delta \sin \alpha \\ \Delta \sin \delta \end{pmatrix} \quad 2.57$$

Differenziert man total und löst nach den Differentialen auf der rechten Seite auf, erhält man

$$\begin{pmatrix} d\Delta \\ \Delta \cos \delta \, d\alpha \\ \Delta \, d\delta \end{pmatrix} = \begin{pmatrix} \cos \alpha \cos \delta & \sin \alpha \cos \delta & \sin \delta \\ -\sin \alpha & \cos \alpha & 0 \\ -\cos \alpha \sin \delta & -\sin \alpha \sin \delta & \cos \delta \end{pmatrix} d\Delta \quad 2.58$$

Die  $\partial(\Delta, \alpha, \delta) / \partial \mathbf{x}$  werden für die Bahnverbesserung gebraucht (siehe §2.8.2). In Hinblick auf die nächsten Abschnitte sei angemerkt, daß hierbei mit ausreichender Genauigkeit  $d\Delta = d(\mathbf{x} - \mathbf{x}_B) = d\mathbf{x} - d\mathbf{x}_B$  gesetzt werden kann, wobei vorliegend die Bahn der Erde nicht verbessert werden soll, also die Variationen der Position des Beobachters  $\mathbf{x}_B$  wegfallen.

### 2.5.1. Die Aberration

Um aus vorgegebenem Ort und Geschwindigkeit von Beobachter und Objekt die Richtung  $\alpha, \delta$  zu bestimmen, unter der das Licht eintrifft, muß bei genauer Rechnung die Bewegungsgleichung des Lichtes integriert werden. Das Ergebnis kann man schreiben als:

$$\Delta = (\mathbf{x} - \mathbf{x}_B) - \frac{\Delta}{c} (\dot{\mathbf{x}} - \dot{\mathbf{x}}_B) \dots \quad 2.59$$

Mit  $\Delta$  ist jetzt der wenn auch aus dem lokalen Minkowski-Raum hinausführende Weg vom Objekt zum Beobachter bezeichnet, welcher bei Planeten mit Radioteleskopen gemessen und ebenfalls verwendet werden kann.

Der erste Term, die formale Differenz der Koordinaten, ist das klassische Ergebnis für  $c \rightarrow \infty$ .

Die durch den zweiten Term erzeugte Änderung in  $\Delta, \alpha, \delta$  ist offensichtlich unabhängig von der Entfernung des Objektes, da diese als Vorfaktor in allen Termen enthalten ist. Sie hängt nur vom Verhältnis der Relativgeschwindigkeit zur Lichtgeschwindigkeit ab. Es handelt sich um die *Aberration*.

Die weiteren Glieder hängen zusätzlich von der Raumstruktur ab. Hauptsächlich tritt eine Verringerung in der beobachteten Elongation zur Sonne auf<sup>27</sup>. Für die vorliegenden Untersuchungen ist dies aber ohne Bedeutung.

<sup>26</sup> die daraus folgende Bewegungsgleichung für das Licht siehe etwa *V.A.Brumberg, Proc. IAU Symp. 109(1984), 25f, 114 (1985), 7*

<sup>27</sup> siehe *V.A.Brumberg, Astro. Zh. 58(1981), 190*; dort sind auch alle Terme für die Korrektur von  $\Delta$  gegeben, sowie USNO Circ. 163(1981), A7







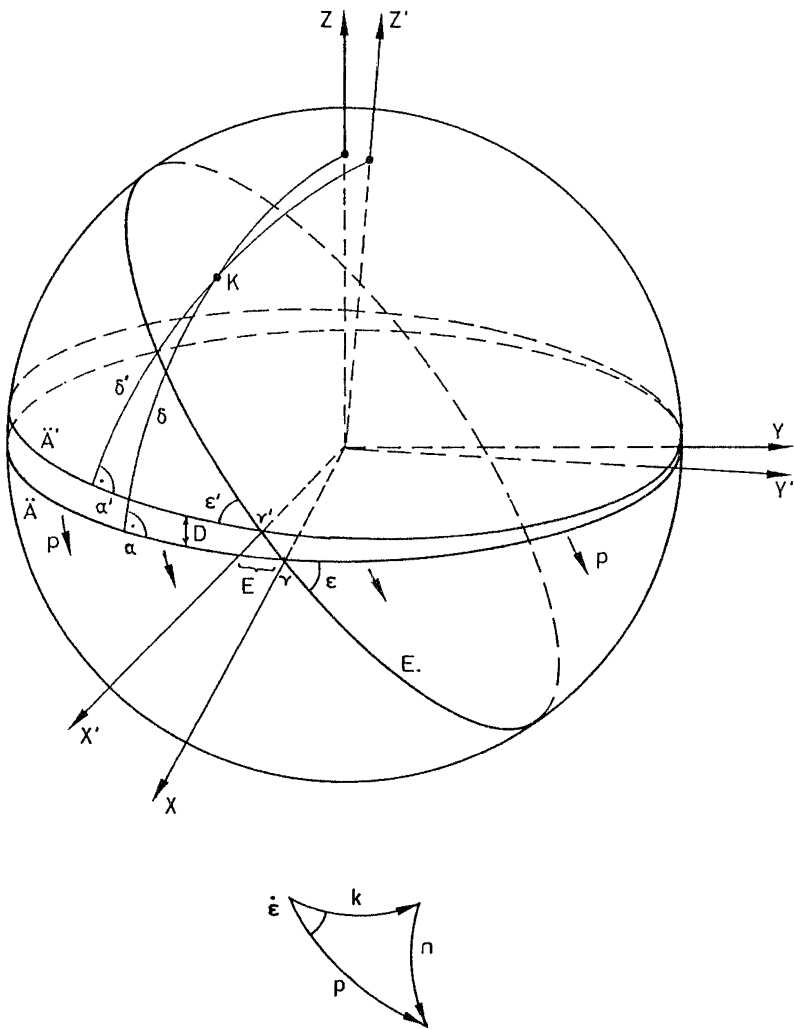


Abb. 2.1 Lage und Bewegung des tatsächlichen und eines idealisierten Fundamentalsystemes

$E$ . Ekliptik,  $\ddot{A}$  Äquator,  $T$  dynamisches Äquinoktium,  $\epsilon$  Schiefe,  $x, y, z$  Achsen eines danach ausgerichteten idealisierten Systemes,  $\alpha, \delta$  Koordinaten eines Objektes  $K$ .  $\ddot{A}', T', \epsilon'$  Katalogäquator, -äquinoktium und -schiefe,  $x', y', z'$  (nicht orthogonale) Achsen des Fundamentalsystemes,  $\alpha', \delta'$  beobachtete Koordinaten des Objektes.  $E, D(\alpha)$  Korrektur von Äquinoktium und Äquator.  $k, n, p, \dot{\epsilon}$  inertielle Bewegung des idealisierten Systemes, entsprechende Größen ' auch für das Fundamentalsystem.











den sie außerdem auf die reziproken Massen für Jupiter, Saturn und Uranus von 1047,348, 3498,0 und 23030 bezogen<sup>65</sup>. Dies wurde im Wesentlichen bewerkstelligt, indem aus den Originaldaten rechtwinklige heliozentrische Koordinaten über den Beobachtungszeitraum hinweg generiert und daraus unter Verwendung der neuen Grundlagen die darauf bezogenen, geringfügig geänderten Initialwerte bestimmt wurden. Bei DE118/119 ergab sich aus radiometrischen und optischen Beobachtungen neben den Initialwerten die Rotation des optischen Bezugssystems ähnlich wie gemäß den letzten Termen in Gl. 2.67, als Bezugssystem wurde die Lage des FK<sub>4</sub>-Systemes zur Epoche B1950 gewählt, indem die Koeffizienten zur Berechnung der Rotationsgrößen von dort an gerechnet wurden. Eine daran angeschlossene Berechnung der mittleren Knotenlänge ergab, daß zur Reduktion auf das dynamische Äquinoktium eine Korrektur von  $\theta_z = -0^{\circ}531$  nötig ist<sup>66</sup>. Die Ephemeride im ursprünglichen System bezeichnet man mit DE118, die auf das dynamische Äquinoktium bezogene mit DE119. DE119 oder die wie oben korrigierte Theorie CRT-81<sup>67</sup> kann man mit ausreichender Genauigkeit in Verbindung mit nach §2.5.3 auf das FK<sub>5</sub>-System bezogene Beobachtungen verwenden, worauf sich auch die später angegebenen Ergebnisse beziehen.

Die für vorliegende Berechnungen verwendeten Initialwerte der Planeten sind in Tab. 2.1. wiedergegeben.

## 2.7. Der *light shift*

Bei mehreren Kometen verblieben in den Bahnbereichen größter Helligkeit nach der Bahnverbesserung deutliche Restfehler. Sie können nicht als nichtgravitative Effekte gedeutet werden, weil sie zu schnell veränderlich sind, und in erheblichem Maße von den einzelnen Beobachtern und Beobachtungsumständen wie Belichtungszeit, Spektralbereich usw. abhängen.

Als Grund wurde in Erwägung gezogen<sup>68</sup>, daß die hellste Stelle des Kometen, auf den sich die Positionsmessungen beziehen, erheblich von der Position des Kernes abweicht (*light shift*).

Weder quantitative Untersuchungen noch eine Theorie des Effektes liegen vor<sup>69</sup>. Die auftretenden Restfehler ergaben jedoch folgende Erkenntnisse: Der *light shift* verläuft in Etwa längs der Richtung zur Sonne. Die Stelle, auf die sich die Positionsmessung bezieht, ist näher an der Sonne als der unsichtbare Kern. Der Betrag ist nicht eine einfache Funktion des heliozentrischen Abstandes des Kometen, sondern hängt ganz erheblich vom Beobachter, Instrument und von den Beobachtungsumständen ab. Bei kurzer Belichtung ist der Effekt im Allgemeinen geringer als bei länger belichteten, und in einigen Fällen von Beobachtungsreihen mit sehr kurzen, sternförmigen Abbildungen des Kometen sind keine signifikanten systematischen Restfehler zu sehen.

Nach der durch eigene Beobachtungen gebildeten Auffassung des Verfassers hat man zwischen der Helligkeitsverteilung des Kometen als physikalische und seiner Figur als physiologische Ursache zu unterscheiden. Die Helligkeitsverteilung der (blauen) Gas- und (gelben) Staubkomponente des Kometen und ihre Faltung mit der Empfangsfunktion (insbesondere mit der spektralen Empfindlichkeit der Fotoplatte und mit der in der zufällig gewählten Fokalebene des Teleskopes etwa in Fällen von Astrographen mit langgestreckter Fokalkurve) bestimmt, wie der Komet durch die Aufnahme abgebildet wird, und diese Figur wiederum, wo beim Ausmessen subjektiv die Mitte gewählt wird. Diese zweite Ursache kann man vermutlich durch photometrisches Ausmessen vermeiden. Unverständlich ist allerdings, warum bei kurzen Belichtungszeiten der Effekt verschwindet (siehe Abb. 2.2).

<sup>65</sup> Astron.Astroph. **119**(1983),97

<sup>66</sup> ein Wert, der mit der Festlegung des Katalogäquinoktiums des FK<sub>5</sub> sehr gut übereinstimmt

<sup>67</sup> die Erdkoordinaten weichen in den letzten zwanzig Jahren nur um wenige *km* voneinander ab

<sup>68</sup> siehe etwa *H. Westphalen*, Astron.Nachr. **24**(1846),370; *D.O.Mochnatsch*, Bull.Inst.Theor.Astr. **6**(1956),269; *B.G.Marsden*, Astron.Journal **74**(1969),732; *G.Sitarski*, Acta Astron. **34**(1984),269

<sup>69</sup> Die theoretischen Untersuchungen von *D.O.Mochnatsch* ergaben, daß der *light shift* in Perihelnähe am geringsten sei, was nicht mit den Beobachtungen übereinstimmt. Neben der Helligkeitsverteilung wurde nicht die offenbar erheblichere Instrumentenabhängigkeit erörtert.

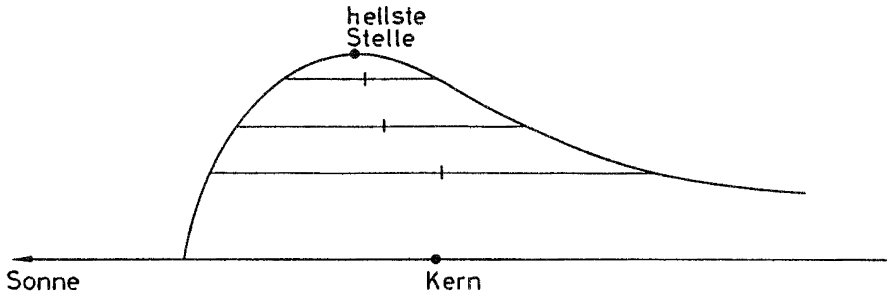


Abb. 2.2 *Helligkeitsprofil eines Kometen*

Die Sehnen entsprechen dem abgebildeten Bereich des Kometen bei Aufnahmen mit verschiedenen Belichtungszeiten. Bei Verkürzung der Belichtungszeit wandert die angemessene Position (Figurmitte) zur hellsten Stelle des Kometen, die vom Kern aus in Richtung zur Sonne hin liegt. Dieser physiologische Anteil des light shift läßt sich bei länger belichteten Aufnahmen auch durch photometrisches Ausmessen vermeiden. Ungeklärt ist, warum bei noch kürzeren Belichtungszeiten die Position wieder in die entgegengesetzte Richtung wandert (der light shift zur Sonne hin wird kleiner).

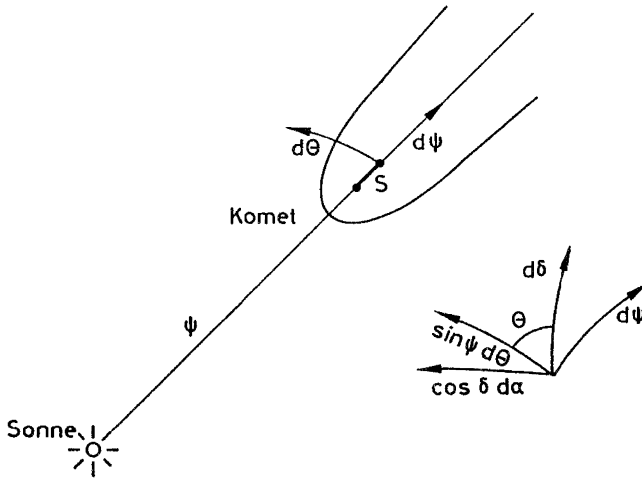


Abb. 2.3 *Der light shift in der scheinbaren Position*

Ein radialer light shift  $S$  unbekannter Größe läßt sich bei den Bahnrechnungen eliminieren, indem von Rektaszension  $\alpha$  und Deklination  $\delta$  auf Positionswinkel  $\theta$  und Elongation  $\psi$  zur Sonne übergegangen wird. Im Positionswinkel ist der light shift nicht enthalten, sodaß nur deren Bedingungsgleichung für die Rechnung verwendet wird. Der Übergang erfolgt am einfachsten durch Multiplizieren der Bedingungsgleichungen für  $\cos \delta d\alpha d\delta$  mit der Rotationsmatrix um den Positionswinkel.

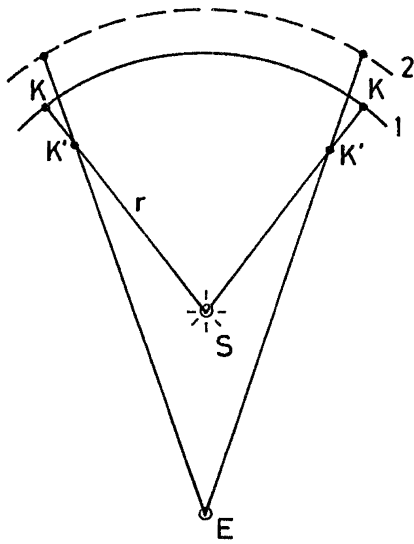


Abb. 2.4 *Auswirkung eines light shift beidseitig einer Konjunktion*

Eine scheinbare Verringerung der heliozentrischen Distanz des Kometen bei einer Konjunktion resultiert in einer Zunahme der bei Bahnrechnungen erhaltenen Distanz, weil die geringere Winkelgeschwindigkeit statt der tatsächlichen Bahn 1 einer weiter entfernten 2 entspricht.  $K$  tatsächlicher Komet (Kern),  $K'$  hellste Stelle (gemessene Position).

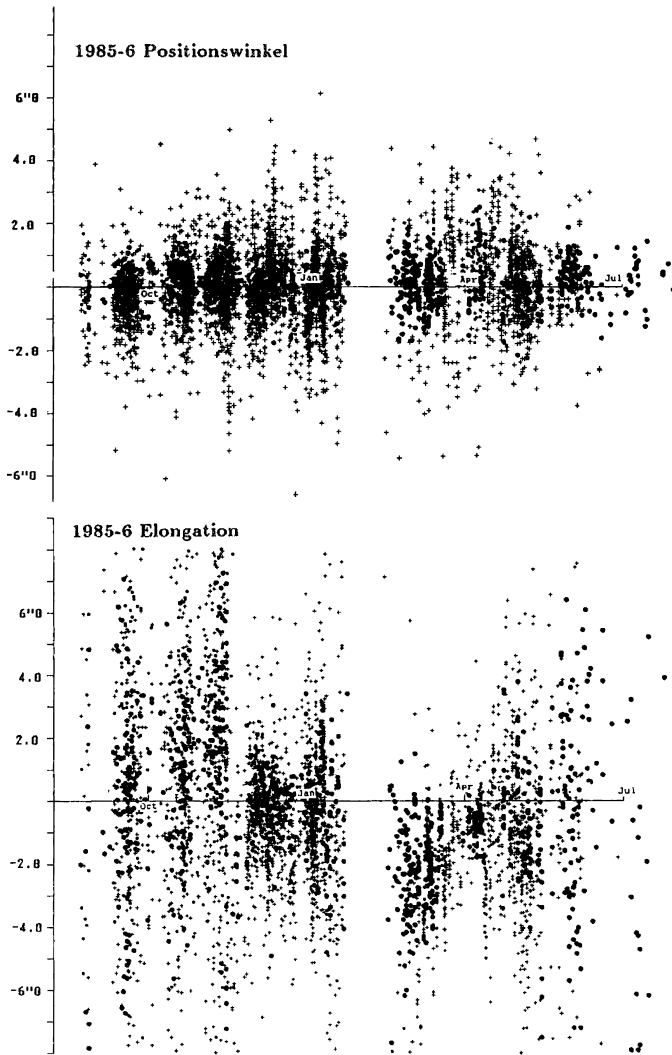


Abb. 2.5 *Restfehler in Positionswinkel und Elongation zur Sonne*

Die Restfehler in Positionswinkel sind mit dem Sinus der Elongation multipliziert. Die Restfehler in Elongation wurden um den perspektivischen Faktor korrigiert, sodaß sie den wahren light shift wiedergeben ( $1'' = 725 \text{ km}$ ). Im Zeitraum Oktober bis Dezember 1985 und 10. April bis 5. Mai 1986 war der Phasenwinkel beim Kometen klein, sodaß in diesem Zeitraum der light shift unsicher bestimmt ist. Obwohl bei den Rechnungen nur die Elongationen nahe den Oppositionen berücksichtigt wurden, sind hier alle Elongationen mit dem Gewicht der Positionswinkel aufgetragen, um die unterschiedliche Güte der einzelnen Beobachter zu berücksichtigen. Ein Kreuz bedeutet Gewicht 0, ein großer Punkt Gewicht 1, kleine Punkte geringere Gewichte.



insbesondere für den Halleyschen Kometen<sup>74</sup>. Für die vorliegende Arbeit ist davon nur der Befund von Bedeutung, daß bei Verwendung von Beobachtungen aus zwei oder mehr Erscheinungen und nicht sehr kleiner Bahnneigung die mittleren Fehler der Ergebnisse nur geringfügig anwachsen.

Dieses Verfahren hat sich bei Berechnungen des Halleyschen Kometen sehr gut bewährt. Ab Ende 1985 wurden von den Beobachtern abhängige systematische Restfehler sichtbar, die auf einen light shift hinwiesen. Im Januar 1986 betraf dies nahezu alle Beobachtungen. Im Februar tauchte der Komet nach seiner Konjunktion zur Sonne etwa 4" abweichend zu dem Ort auf, der sich bei einer Bahnrechnung unter möglichst guter Anpassung der vorangegangenen Rektaszensionen und Deklinationen ergeben hatte. Im Positionswinkel ergab sich jedoch kein Sprung, es handelte sich im Wesentlichen um einen systematischen Fehler in der Elongation (siehe Abb. 2.5). Der Verfasser hat alle vorgeschlagenen Verfahren zur Behandlung des light shiftes angewendet<sup>75</sup>. Dabei ergab dieses Verfahren signifikant die beste Darstellung des verwendeten Beobachtungsmaterialies, und lieferte mit etwa 150km die genaueste Vorausberechnung des Kometen für die Zeit des Vorbeifluges der Raumsonde *Giotto*. Die von den Raumsonden *Vega 1* und *Vega 2* gemessenen Positionen des Kometen waren eine wichtige Bestätigung für die Diskrepanz des tatsächlichen zum scheinbaren Ort des Kometen, also daß ein light shift der erläuterten Art gegeben ist und nicht etwa Fehler in der Modellierung der Bewegung des Kometen, insbesondere unerklärlich große nichtgravitative Kräfte, vorliegen.

Später hat der Verfasser versucht, aus den Restfehlern in Elongation Schlüsse auf das Wesen des light shiftes zu ziehen<sup>76</sup>. Dies war jedoch nur im statistischen Sinne möglich, da die meisten Beobachter die relevanten Einzelheiten ihrer Beobachtungen nicht veröffentlicht haben. Zusammenfassend ergab sich, daß der absolute light shift  $S$  sich nicht als eine Funktion der heliozentrischen Distanz, sondern erheblich besser in Abhängigkeit von der reduzierten Helligkeit und der geozentrischen Distanz darstellen läßt. So war beispielsweise der light shift bei gleicher heliozentrischer Entfernung nach dem Perihelium im Februar erheblich größer als davor. Anfang April, bei erheblicher Annäherung des Kometen an die Erde, war der light shift nur sehr gering, nahm anschließend aber wieder deutlich zu. Er verhält sich etwa gemäß

$$S = S_0 \Delta^2 / 10^{m/5} \quad \text{mit} \quad S_0 = 3700 \pm 400 \text{ km} \quad 2.71$$

( $m$  visuelle Helligkeit). Dieser Zusammenhang ist unter anderem auch in Einklang damit, daß bei etwa gleicher reduzierter Helligkeit der scheinbare light shift  $S/\Delta$  die selbe Größe unabhängig von der Entfernung des Beobachters besitzt und die Raumsonden bei der Annäherung keinen light shift messen konnten, sodaß es sich bei der radialen Verschiebung des scheinbar hellsten Punktes zur Sonne hin nicht um einen realen Effekt, sondern um einen Beobachtungseffekt handelt.

Man muß sich stets darüber im Klaren sein, daß dieser Zusammenhang nur im statistischen Sinne, unabhängig von den Beobachtungsumständen, gilt. Ebenso ist fraglich, inwieweit er sich auf andere Kometen verallgemeinern läßt. Selbst bei großzügiger Abschätzung darf man aber vermuten, daß demnach bei Kometen von 7. Größe visuell der light shift bei weniger als 1AE Abstand von der Erde vernachlässigbar ist. Die Überprüfung der einzelnen hier bearbeiteten Kometen ergab, daß in keinem Fall der light shift berücksichtigt werden braucht, mit Ausnahme des Halleyschen Kometen, wo seine Berücksichtigung indessen von ganz erheblicher Bedeutung ist.

## 2.8. Die Verbesserung der Unbekannten

Nach dem Vergleich der Beobachtungen mit der Theorie sollen verbesserte Werte ihrer Parameter ermittelt werden.

Es seien  $\mathbf{b}$  die Beobachtungen – in der Regel  $\alpha$  und  $\delta$  –,  $\mathbf{r}$  die Werte, welche sie gemäß des Modelles und der vorliegenden Werte der Parameter  $\mathbf{u}$  annehmen sollten, und  $\mathbf{f}$  die Differenzen (*Fehler*) zwischen beiden. Gesucht sind nun die Korrekturen  $\Delta\mathbf{u}$ , die an die Parameter anzubringen sind, damit die Beobachtungen möglichst gut dargestellt werden.

<sup>74</sup> *ibid.* Tab. 12 und 13; Astron.Astrophys. **157**(1986),245

<sup>75</sup> eine Auswahl davon veröffentlicht im Rahmen eines Artikels von *I.Hasegawa*, The Heavens **67**(1986),131; siehe auch §4.5

<sup>76</sup> ESA SP-**250**(1986) Vol.3,289; siehe auch §4









### 3. Die Durchführung der Rechnungen

#### 3.1. Vorbetrachtungen

Obwohl die Ableitung der die nichtgravitativen Effekte beschreibenden Unbekannten in der Praxis, wie bei allen Parameterbestimmungsproblemen üblich, verhältnismäßig schematisch erfolgt, indem die Variationen der beobachtbaren Größen auf die der Parameter des beschreibenden Modelles zurückgeführt werden, erscheint es doch geboten, in Hinblick auf eine günstige Parametrisierung und Auswahl des Beobachtungsmaterialies eine Betrachtung darüber voranzustellen, wie sich die nichtgravitativen Kräfte auf die Beobachtungen auswirken.

1. *Die nichtgravitativen Effekte äußern sich hauptsächlich in einer Verlängerung oder Verkürzung der Umlaufszeit.* Die Funktion der Abhängigkeit von der heliozentrischen Distanz oder der Zeit ist unbekannt. Teilweise wird die Meinung vertreten, daß es sich um kontinuierliche, teils, daß es sich um impulsmäßige oder zumindest nur kurzzeitig in Perihelnähe stattfindende Kräfte handelt. Eine ungenügende Darstellung der Beobachtungen durch die vorgeschlagenen Funktionen legt nahe, daß diese bei den betreffenden Kometen deutlich korrekturbedürftig sind. Nach Meinung des Verfassers belegt dies auch der Befund, daß sich nach Annäherungen an den Jupiter nicht nur die Umlaufszeitänderung, sondern auch der Wert der nichtgravitativen Parameter deutlich ändert. Der Sachverhalt, daß Kometen mit einer Periheldistanz bis über  $6AE$  bekannt sind und demnach noch in dieser Entfernung Sublimation stattfindet, legt nahe, daß diese wesentlich langsamer abnimmt als nach Stil 2.

2. Obwohl die nichtgravitativen Effekte für die einzelnen Kometen sehr stark differieren, seien zur Vergegenwärtigung ihres Einflusses auf die Beobachtungen grobe Durchschnittswerte genannt. *Die Abweichung von der gravitativen Bewegung* liegt typischerweise in der Größenordnung von  $1'$  bis  $10'$ . Die säkulare Änderung dieses Effektes liegt im Bereich von 1% bis 20%. Hinzu kommt bei jedem Umlauf eine erratische Anomalie. Diese ist teils kleiner, teils größer als die säkulare Änderung, also auch im Bereich von einigen Prozent der Umlaufszeitänderung, oder Bruchteilen einer Bogenminute. Bei jeder Erscheinung des Kometen werden zehn bis hundert Beobachtungen gemacht. Der mittlere Fehler heutiger Beobachtungen beträgt  $1''$ . Systematische Beobachtungsfehler von über  $2''$  können in der Regel erkannt und die Beobachtungen eliminiert werden. In den äußeren Teilen der Bahn fallen weniger Beobachtungen an, jedoch deutlich genauere. Der systematische Gang der Beobachtungen in den äußeren Bereichen, soweit er signifikant auf Fehler der Kraftfunktion und nicht auf andere Gründe hindeutet (s. Pkt. 5), beträgt einige Bogensekunden.

3. *Die Auswirkung der einzelnen Kraftkomponenten auf die Bewegung* besteht teils in einer säkularen Änderung einzelner Elemente, teils in Anomalien, die im gegenüberliegenden Teil der Bahn mit anderem Vorzeichen auftreten und daher nach einem Umlauf wieder verschwunden sind (siehe Tab. 3.1).

Durch die radiale Kraft  $f_1$  entsteht, wie bei allen Zentralkräften, die nicht  $\propto r$  oder  $\propto r^{-2}$  verlaufen, eine Periheldrehung, die bei einer zur Sonne hin gerichteten Kraft ( $A_1$  negativ) in Richtung des Umlaufes erfolgt, sowie eine entsprechende Differenz zwischen Umlaufszeit und Abstand zwischen zwei Periheldurchgängen. Umlaufszeit und Exzentrizität bleiben konstant, jedoch ergibt sich bis zum Aphel eine anschließend wieder verschwindende Anomalie. Bei positivem  $A_1$  wird der Komet im aufsteigenden Ast seiner Bahn beschleunigt, im absteigenden wieder abgebremst. Der Halleysche Komet etwa erreicht dadurch das Aphel um mehrere Tage zu früh gegenüber einer gleichförmigen Bewegung, die Störungen durch  $f_2$  einmal außer Acht gelassen.

Der Parameter  $A_1$  folgt daher hauptsächlich aus den Beobachtungen in den äußeren Bahnanteilen oder der Periheldrehung zwischen zwei Umläufen.

Durch die transversale Kraft  $f_2$  entsteht eine säkulare Änderung von Exzentrizität und Periheldistanz, insgesamt also die auffallende Änderung der Umlaufszeit. Vorübergehende Anomalien entstehen in der Perihellänge, sowie in der mittleren täglichen Bewegung über die säkulare Änderung hinaus, bedingt durch den expliziten Verlauf  $f_2(r)$ .

Der Parameter  $A_2$  folgt hauptsächlich aus der Änderung der Umlaufszeit.

Durch die vertikale Kraft  $f_3$  entsteht hauptsächlich eine Verlagerung der Bahnebene. Diese Kraft entsteht, wenn die Rotationsachse gegen die Bahnnormale geneigt ist, und führt in der Regel zu einer Präzession





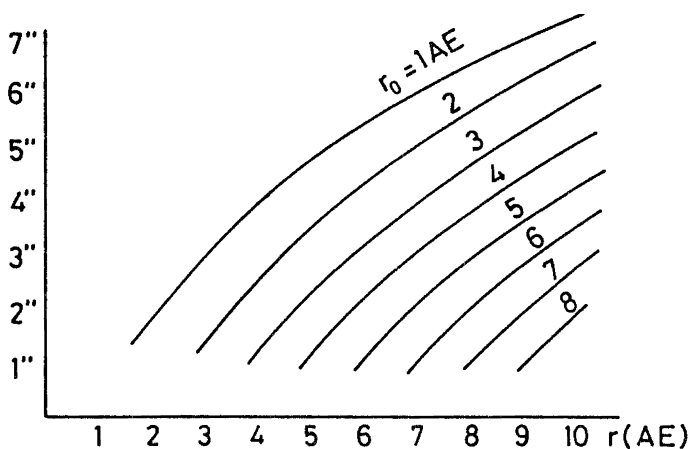


Abb. 3.1 Ortsänderung durch die nichtgravitative Beschleunigung

Abgebildet ist die Auswirkung einer nichtgravitativen Komponente  $A_1$  von 1,0 (Stil 2) wirkend im Intervall  $[r_0 - 0,5, r_0 + 0,5]$ , auf die heliozentrische Position in einer größeren Entfernung  $r$ . Berechnet für die Bahn des Halleyschen Kometen, mit Ausnahme des Verlaufes für  $r_0 = 1 \text{ AE}$  sind die Ergebnisse jedoch praktisch unabhängig von der Periheldistanz.

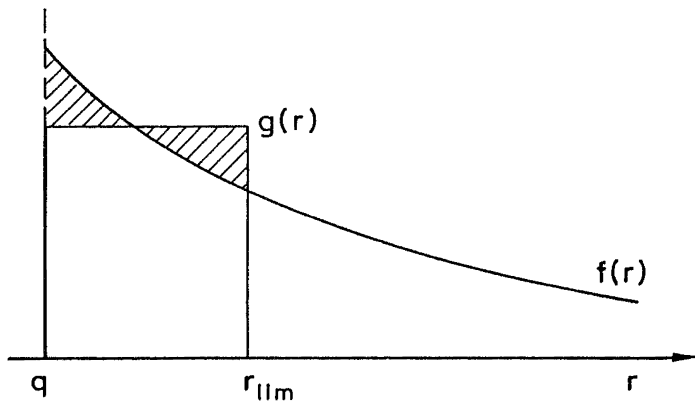


Abb. 3.2 Einfluß der Diskretisierung auf die Bestimmung der nichtgravitativen Parameter in den äußeren Bahnbereichen

Weicht der angenommene Verlauf  $g(r)$  erheblich von dem tatsächlichen  $f(r)$  ab, so daß am Rande  $r_{lim}$  des inneren Intervalles die Kometenposition durch die Diskretisierung erheblich fehlerhaft ist (Fehler proportional der schraffierten Fläche), muß dieser Fehler zur Darstellung äußerer Beobachtungen durch die berechnete nichtgravitative Bewegung in den äußeren Teilen kompensiert werden. Da die nichtgravitative Beschleunigung und die Anzahl der Beobachtungen mit der heliozentrischen Distanz erheblich abnehmen, kann dies zu erratischen Ergebnissen für die nichtgravitativen Parameter der äußeren Bahnteile führen. Ist die Abweichung berechneter minus beobachteter Ort bei  $r_{lim}$  beispielsweise positiv (wie in der Abbildung), und hat man zur Bestimmung der äußeren Parameter nur Beobachtungen knapp außerhalb  $r_{lim}$ , mithin mit negativer Abweichung zur Rechnung, würde man einen erheblichen negativen Wert für die äußeren Parameter erhalten.

allgemeiner aber auch durch eine Asymmetrie von  $f_1$ , was aber nur mit umfangreichen Beobachtungen aus den äußeren Bahnteilen klärbar ist.

Soll die Bahn in mehrere Teile unterteilt werden, für welche die dortigen nichtgravitativen Parameter als zusätzliche Unbekannte bestimmt werden sollen, so sind dazu zwei Erscheinungen ausreichend, wobei aber eine ausreichende Verteilung an Beobachtungen Voraussetzung ist. Die Parameter  $A_1^i, A_2^i$  im Bahnabschnitt  $i$  sind hauptsächlich durch die ekliptikal Längen, die  $A_3^i$  durch die Breiten in dem betreffenden Gebiet bestimmt. Bei zwei Erscheinungen hat man für jedes Bahnteil zwei beobachtete Längen, wodurch die zugehörigen  $A_1^i$  und  $A_2^i$  bestimmt sind. Für die  $A_3^i$  hat man durch die jeweils zwei Breiten sogar überschüssiges Beobachtungsmaterial. War die Perihelzeit bei beiden Erscheinungen zur gleichen Jahreszeit, sind Erd- und Kometenort sehr ähnlich und damit auch die Bedingungsgleichungen, sodaß  $A_1^i$  und  $A_2^i$  nur schlecht separiert werden können. Anschaulich wird der Kometenort nach einem Umlauf von beiden Erdpositionen aus lokalisiert. Im Allgemeinfall sind keine erheblichen Korrelationen zu erwarten.

Eine dritte Erscheinung benötigt man nur, weil sonst die Umlaufzeit nicht getrennt von ihrer säkularen Änderung berechnet werden kann, also ein Parameter zu wenig. Auch wegen der in der Umlaufzeitänderung enthaltenen Information über eine mögliche Asymmetrie der radialen Kräfte ist eine dritte Erscheinung unerläßlich und kann auch nicht etwa durch Verzicht auf eine Unbekannte ersetzt werden. Dazu ist aus einer dritten Erscheinung jedoch nur sehr wenig an Information nötig. Sogar eine einzelne Beobachtung würde ausreichen, ohne die Bestimmbarkeit der Parameter in den verschiedenen Bahnteilen ungünstig zu beeinflussen. Im Gegensatz zu einer Überzahl an Erscheinungen schaden jedoch viele Beobachtungen aus der dritten Erscheinung nicht, sondern tragen noch zur Genauigkeit bei.

7. Bei einer Unterteilung der Bahn ist in der Praxis zu beachten, daß die Kräfte eine gewisse Zeit wirken müssen, um meßbare Positionsänderungen hervorzurufen. Genaugenommen erhält man die Kräfte in einem Bahnstück nicht aus den dortigen Beobachtungen, sondern aus solchen in erheblich größerer heliozentrischer Distanz.

Dies ist der Grund, warum in der Praxis die explizite Berechnung der nichtgravitativen Kräfte für verschiedene Bahnteile bei den meisten Kometen nicht möglich ist. Es fehlt an Beobachtungen insbesondere in den äußeren Bahnteilen. Meist liegen nur Beobachtungen bis zu 1 AE über das Perihel hinaus vor. Die Unbekannten gehen daher zwar prinzipiell gut separierbar, aber vom Betrag her viel zu klein gegenüber sonstigen Ungenauigkeiten in die Beobachtungen ein. Gezielte Beobachtungen einzelner Kometen in den äußeren Bahnteilen wären daher notwendig.

8. Die Verläufe nach Stil 1 und Stil 2 fallen stark logarithmisch ab. Ist der tatsächliche Verlauf erheblich anders als der angenommene, können sich bereits durch die fehlerhafte Diskretisierung der Bewegung in den inneren Bahnteilen Abweichungen ergeben, zu deren Ausgleich die äußeren Parameter erratische Werte annehmen müssen. Falls die Beträge der Parameter für verschiedene Bahnteile von unterschiedlicher Größenordnung sind, sollte erst ein günstigerer kontinuierlicher Verlauf ermittelt werden, etwa nach Stil 1 mit anderen Werten für  $C$  und  $\alpha$  (siehe Abb. 3.2).

Zusammenfassend läßt sich daher für die Durchführung der Rechnungen folgendes sagen:

Für die Berechnung des Verlaufes der nichtgravitativen Kräfte sind Beobachtungen aus drei Erscheinungen des Kometen optimal. Vier sollten nur verwendet werden, wenn auch  $B_2$  mitbestimmt wird und sein Betrag klein ist. Kometen mit einer ganzjährigen Umlaufzeit oder großen zeitlichen Veränderungen der nichtgravitativen Kräfte sollten vermieden werden. Bei der Unterteilung der Bahn sollte man sich an Verteilung und Gesamtgewicht der Beobachtungen in den äußeren Bahnteilen unter Berücksichtigung der Periheldistanz und von Abb. 2.1. orientieren. Gegebenenfalls sollte man vor der Ableitung der Parameter einen passenderen Verlauf  $g(r)$  suchen.

### 3.2. Die Durchführung der Rechnungen

In diesem Abschnitt soll der wesentliche Gang der Rechnungen aufgeführt werden.

Die Planeten können wahlweise simultan mit dem Kometen integriert oder von einer Datei eingelesen werden. Diese Datei wird in derselben Weise von dem Programm erzeugt, sodaß bei Verwendung derselben Initialwerte für die Planeten beide Methoden gleichwertig sind. Bei kleineren Rechenanlagen geht das

Einlesen der Planetenkoordinaten wesentlich schneller, als sie berechnet werden können. Andererseits ist man durch das Verwenden einer Datei auf ein Vielfaches ihrer Schrittweite festgelegt, und benötigt die Datei erheblichen Speicherplatz. Die Planetenkoordinaten für dieses Jahrhundert wurden im Intervall von 0,4 und 0,8 Tagen integriert und als Datei angelegt. Für die meisten Anwendungszwecke ist dies ausreichend. In anderen Fällen, hier etwa bei dem Halleyschen Kometen, wurden die Planeten mitintegriert.

Zuerst werden die ggf. verwendeten Startwerte für die großen Planeten, die Elemente des Kometen, die Sternwarten, die Beobachtungen sowie eventuelle Bedingungen an die Verbesserung der Parameter oder an deren mittlere Fehler oder Korrelationskoeffizienten eingelesen und auf offensichtliche Fehler hin überprüft, und einige Vorarbeiten wie die Umwandlung der Elemente in rechtwinklige Initialwerte (§2.2), die Korrektur der Beobachtungen auf das FK5-System (§2.5.3), die Berechnung der Position des Beobachters (§2.5.2), die Umwandlung der Zeit in Ephemeridenzeit, die Berechnung der Ableitungsmatrix der zu verwendenden Parameter nach den rechtwinkligen Initialwerten (§2.8.2) &c. durchgeführt. Anschließend werden die Planeten, falls nicht von der Datei einzulesen, von ihrer Epoche zur Oskulationsepoche der verwendeten Kometenelemente integriert.

Dort wird der Komet hinzugefügt, ebenso für jeden zu bestimmenden Parameter der Bewegungsgleichungen ein Pseudokörper zur Berechnung der Differentialquotienten gemäß §2.4. Von dort an wird zunächst zeitlich vorwärts, anschließend zeitlich rückwärts über den Zeitraum der Beobachtungen integriert. Für jede Beobachtung wird iterativ für ihre um die Lichtlaufzeit verminderte Zeit die Position sowie die Ableitung derselben nach allen Parametern interpoliert. Daraus folgen die Abweichungen zwischen Beobachtung und Theorie sowie die Bedingungsgleichungen zur Verbesserung der jeweils zu verwendenden Parameter und Beobachtungsgrößen (§2.8.2). In Anschluß daran wurden die Normalgleichungen gebildet und nach der Methode der Kleinsten Quadrate aufgelöst (§2.8.1). Über die Ableitungsmatrix wurden die Korrekturen der rechtwinkligen Initialwerte zur Epoche berechnet und an die alten Werte angebracht, womit die verbesserten Werte erhalten worden sind. Die ihnen entsprechenden oskulierenden Elemente wurden berechnet (§2.2) und ausgedruckt.

Dies wurde mehrfach wiederholt, bis eine vorgegebene Anzahl erreicht oder Änderung in der Restfehlerquadratsumme unterschritten wurde. Die Konvergenz war auch bei vielen Parametern sehr gut. In den meisten Fällen waren nur zwei Iterationen nötig und konnten die beim ersten Mal berechneten Bedingungsgleichungen beibehalten werden. Falls auch mittlere Fehler der Ephemeride oder oskulierenden Elemente für andere Zeiten als der Epoche erwünscht waren, wurden die Ableitungen auch beim letzten Durchlauf noch einmal mitintegriert (§§2.4,2.8.2).



















der heliozentrischen Distanz fast dieselben mittleren Fehler ergibt wie die Rechnung ohne light shift, was völlig illusorisch ist, von den systematischen Unterschieden der angenommenen  $s(r)$  (*Modelltrauschen*) einmal abgesehen.

Entsprechende Rechnungen wurden noch für die Bestimmung von insgesamt 9 nichtgravitativen Parametern für drei Teile der Bahn gemacht. Im Falle 1 und 4 erhielt man nun 200/100/500:-21, im Falle 2 und 5 660/110/750:0, im Falle 3 und 6 1460/120/1600:3. Bei großer Zahl an nichtgravitativen Parametern kommt es demnach kaum noch auf eine höheren Zahl an Beobachtungen im März an, hauptsächlich, weil diese die Parameter und die aus ihnen resultierende Unsicherheit der großen Halbachse nicht mitbestimmen. Dafür hängt das Ergebnis jedoch ganz erheblich von dem Gewicht der Elongationen ab. Im Gegensatz zur Vorgabe des Verlaufes der nichtgravitativen Kräfte wird jetzt die Bewegung nicht mehr von den äußeren Beobachtungen mitbestimmt<sup>78</sup>, sondern muß im sonnennahen Teil alleine aus dortigen Beobachtungen ermittelt werden. Da nur ein Teil der Parameter in den äußeren Bahnbereichen signifikant bestimmt werden konnte, also die Vorgabe der Funktion genauer als der Informationsgehalt der Beobachtungen ist, ist für Vorausberechnungen von Positionswerten die Auflösung nach den nichtgravitativen Parametern für unterschiedliche Bahn Teile offenbar nicht geboten.

Diese Ergebnisse verdeutlichen die Abhängigkeit der Genauigkeit der Vorausberechnungen von der Kenntnis über light shift und nichtgravitative Kräfte. Zusammenfassend wäre bei genauer Kenntnis dieser Effekte die Position mit einem mittleren Fehler von etwa 50 km genau berechenbar<sup>79</sup>, die Unsicherheit infolge dieser Effekte beträgt indessen etwa 200 km.

### 4.3 Die Beobachtungen

In diesem Abschnitt soll das Beobachtungsmaterial diskutiert werden, welches für die Berechnungen verwendet wurde.

Beobachtungen des Halleyschen Kometen lassen sich bis 467 v.Chr., möglicherweise sogar bis 618 v.Chr., zurückverfolgen (siehe letzten Abschnitt). Für die Untersuchung des langzeitigen Verhaltens der nichtgravitativen Kräfte sind die Beobachtungen bis 240 v.Chr. brauchbar. Bei den vorgenannten Untersuchungen hat der Verfasser häufig Beobachtungen zurück bis 1607 verwendet, teilweise wurde eine Anpassung an noch frühere Erscheinungen durchgeführt. Daraus ergab sich eine säkulare Vergrößerung der nichtgravitativen Kräfte von knapp 1% pro Umlauf<sup>80</sup>, aber auch eine Fluktuation der individuellen Erscheinungen in dieser Größenordnung. Deshalb war es nicht möglich, überzählige Erscheinungen ohne erhebliche systematischen Restfehler darzustellen<sup>81</sup>. Demgegenüber korreliert eine säkulare Änderung der Kräfte im Prozentbereich bei Verwendung von drei Erscheinungen praktisch vollständig mit den sonstigen Parametern<sup>82</sup> und hat dann praktisch keinen Einfluß auf die Ergebnisse. In §3.1 wurde bereits erörtert, daß von einer dritten Erscheinung nur die (ungefähre) Information über die Perihelzeit benötigt wird<sup>83</sup>. Daher wurden für die vorliegenden Berechnungen nur die Erscheinungen seit 1835 verwendet. Die für die früheren Arbeiten berechneten Normalorte sind für anderweitige Verwendung jedoch in Tab. 4.1 aufgeführt.

Von der Erscheinung 1835-1836 liegen etwa 900 Beobachtungen vor<sup>84</sup>. Diese Beobachtungen sind von sehr unterschiedlicher Qualität hinsichtlich Durchführung und Genauigkeit. Die brauchbar erscheinenden Beobachtungsserien wurden, teils unter Verwendung moderner Positionswerte für die Anschlußsterne, neu reduziert.

<sup>78</sup> siehe dazu den letzten Abschnitt von Pkt. 3 in §3.1

<sup>79</sup> siehe Lösung 1,1',1" in Tab. 4.7; die nicht erfaßbaren systematischen Fehler liegen ebenfalls in dieser Größenordnung

<sup>80</sup> entsprechend einer Stunde in der Perihelzeit

<sup>81</sup> Man kann die Erscheinung 1759 noch mit Hinzunahme von  $B$  darstellen, jedoch steht der hierfür nötige Wert in Widerspruch zu dem aus den früheren Erscheinungen, sodaß dies nicht sinnvoll ist

<sup>82</sup> siehe dazu Lösung 8" gegenüber 3" in Tab. 4.7

<sup>83</sup> Außerdem stellte sich heraus, daß bereits aus den Beobachtungen der gegenwärtigen Erscheinung die Parameter mit nur etwa doppelter Ungenauigkeit folgen

<sup>84</sup> *P. Carl, Repertorium der Cometen-Astronomie*. München 1864. 364ff; *S.F. Röser, Study into the Accuracy of Astrometric Observations of Comets*. ESOC 5759/83/D/IM(SC) Final Report. Heidelberg 1984. 62ff.





















Funktionelle Darstellungen  $s(r)$  wurden außerdem in keinsten Weise dem gerecht, daß die Positionsunsicherheit durch das Vorhandensein eines light shifts erheblich größer ist als ohnedem; infolge des geringeren mittleren Restfehlers wurde die formale Positionsunsicherheit sogar geringfügig kleiner ( $5''/7'', 1/3$ ).

e) Die teilweise oder völlige Nichtverwendung der Elongationen ergab eine um etwa 600 km geringere heliozentrische Distanz. Dies betrifft die wesentlichste Auswirkung des light shifts auf die Berechnungen (siehe §2.7)<sup>123</sup>. Festzuhalten ist besonders, daß weder die Variation des Kräftemodells noch die der verwendeten Planetenephemeride ( $a-c$ ) die heliozentrische Distanz des Kometen bei einer vorgegebenen heliozentrischen Länge veränderten, sondern hauptsächlich den Ort entlang seiner Bewegungsrichtung, die Annahme eines entfernungsabhängigen light shift ( $d$ ) verringerte die Distanz nur unzulänglich<sup>124</sup>. Als Kontrolle, ob noch signifikante Reste des light shift in der geringen Anzahl verwendeter Elongationen um die Oppositionszeiten enthalten sind, wurde Lösung 7'' durchgeführt; offensichtlich war dies nicht der Fall. Mit Lösung 5-10 sollte überprüft werden, ob sich die systematischen Abweichungen in den besten Beobachtungen durch die nichtgravitativen Kräfte darstellen lassen. Dies war nicht der Fall. Systematische Restfehler sind somit auch in den offenbar sehr kurz belichteten Beobachtungen. Auch hier blieb die heliozentrische Distanz fast unverändert.

Es war insofern vorabzusehen, daß die Lösungen ohne Verwendung der Elongationen die genauesten Vorausberechnungen ermöglichen, was sich bei dem Vorbeiflug der Vega-Sonden dann auch bestätigte (siehe Tab. 4.6).

Aus den Restfehlern in Elongation der Beobachtungen bis August 1986 wurde später der Verlauf des light shift wie in §2.7 angegeben abgeschätzt.

In Bezug auf die Behandlung des light shift beim Halleyschen Kometen ist daher zu sagen: Der light shift existiert. Er beträgt in Perihelnähe einige Bogensekunden, entsprechend über 1000 km. Insbesondere die Berechnung der nichtgravitativen Kräfte in verschiedenen Bahnteilen ist empfindlich gegen systematische Beobachtungsfehler dieser Größenordnung (siehe Abb. 3.1). Sie lassen sich mit keinem bekannten Verfahren beseitigen.

Aus diesen Gründen wurde bei allen weiteren Rechnungen so verfahren, daß, mit Ausnahme der Beobachtungen sehr nahe den Oppositionen, bei  $r < 2 AE$  die Elongationen nicht verwendet wurden.

#### 4.5 Ergebnisse für die nichtgravitativen Kräfte in verschiedenen Bahnteilen

Wie bei den vorangegangenen Rechnungen wurde die Bahn in drei Teilstücke unterteilt, für welche die nichtgravitativen Parameter bestimmt wurden.

Die Wahl der Grenzen fiel aufgrund der folgenden Erwägungen auf  $r_{lim} = 1 AE$ . Die nichtgravitative Beschleunigung nimmt zum Perihel hin zu, ebenso die Anzahl der vorliegenden Beobachtungen. Wird der untere Bahnabschnitt verhältnismäßig klein gewählt, wirkt sich die Diskretisierung bei einem fehlerhaften Verlauf weniger auf die Ergebnisse für den äußeren Bereich aus (siehe Pkt. 8) in §3.1, dennoch sind die Parameter im unteren Teil noch immer gut bestimmbar (siehe Tab. 4.8). Außerdem macht sich eine nichtgravitative Beschleunigung in einem Bahnabschnitt erst in größerer Distanz im Ort bemerkbar (siehe Abb. 3.1). Zur möglichst guten Bestimmung der Beschleunigungen sollte am Anfang des äußeren Intervalles der Ort des Kometen noch durch möglichst viele Beobachtungen festgelegt sein. Die Konjunktionen Mitte 1985 und 1986, welche den Zeitraum der meisten Beobachtungen einschließen, ergeben eine Lücke im Bereich  $r \approx 2,5 \dots 4 AE$ .

In Tab. 4.8 sind die Ergebnisse der Bahnrechnungen unter Annahme eines Kräfteverlaufes nach Stil 2 angegeben. Neben der allgemeinen Lösung nach allen 9 Parametern (Bahn 1) sind noch diverse Lösungen unter zusätzlichen Bedingungen durchgeführt worden. Davon sind diejenigen aufgeführt, bei denen für das Verhältnis  $A_2/A_1$  vor und nach dem Perihel derselbe Wert angenommen wurde (Bahn 4-8), sowie jene mit der Annahme desselben Wertes für  $A_1$  (Bahn 2) und  $A_2$  (Bahn 3) für die beiden äußeren Bahnbögen.

<sup>123</sup> ebenso auf Vorbeiflughdistanz und -richtung (*miss vector*) der Raumsonden

<sup>124</sup> nach *ESOC, loc.cit.* 4, Abb. 12 wurde sie sogar vergrößert









laufszeitänderung, also der integrale Effekt der Kräfte, säkular nur um weniger als 1% pro Umlauf ändert, vermuten, daß dies auch für die Kräfte in den einzelnen Bahnteilen der Fall ist.

Für die Erarbeitung und Kontrolle von Modellrechnungen (§1) wäre es von sehr großem Wert, die Größe der nichtgravitativen Beschleunigung bei bestimmten Werten der heliozentrischen Entfernung zu kennen. Es ist nicht unmittelbar möglich, von den nichtgravitativen Parametern auf diese zu schließen. Die Ergebnisse für die Parameter stellen qualitativ eine Faltung des wahren Verlaufes mit dem angenommenen  $g(r)$  sowie mit der Verteilung der Beobachtungen dar.

Die Abhängigkeit von dem angenommenen Verlauf läßt sich aber zumindest verringern, indem man in Abbildung 1.4 die Modelle um die Werte der entsprechenden nichtgravitativen Parameter verschiebt. Schneiden sich die so erhaltenen Kurven in einem Punkt, und geht man davon aus, daß der wahre Verlauf im Bereich der Modelle liegt, kann man folgern, daß auch dieser den Punkt schneidet. Der betreffende Wert der heliozentrischen Distanz stellt daher gewissermaßen einen Mittelwert des Bahnabschnittes dar, auf den die berechneten Beschleunigungen zutreffen.

Für  $A_1$  war es im perihelnen Teil nicht möglich, hierüber ein Ergebnis zu erhalten, weil in diesem Bereich der Verlauf aller Modelle praktisch gleich ist. Für die äußeren Bereiche erhält man für die Ergebnisse sowohl aus Tab. 4.8 als auch aus Tab. 4.9 einen Schnittpunkt bei etwa  $r \approx 1,5 AE$ . Der Wert für die Beschleunigung ist jedoch bei den beiden Arten von Lösungen erheblich unterschiedlich, was besagt, daß diese Entfernung nur eine Mittelung hinsichtlich der  $g(r)$ , nicht jedoch auch hinsichtlich der Beobachtungsverteilung, darstellt.

Für  $A_2$  war es ebenfalls nicht möglich, im perihelnen Teil ein Ergebnis zu erhalten, weil sich die Kurven nicht deckten und sich auch nicht mit dem Ergebnis nach Stil 2 schnitten. Für die äußeren Bereiche ergab sich eine gute Übereinstimmung bei  $r \approx 1,8 AE$ .

Bei Modellrechnungen empfiehlt es sich daher, die Ergebnisse mit denen der Bahnrechnungen bei den genannten Werten der heliozentrischen Distanz zu vergleichen.

## Schlußbetrachtung

Mit der gegenwärtigen Erscheinung des Halleyschen Kometen war es erstmals möglich, Aussagen über den Verlauf der nichtgravitativen Kräfte eines Kometen zu machen. Wenn dies auch noch mit gewissen Einschränkungen behaftet ist, so stellt es - etwa über Modellrechnungen mit zahlreichen Annahmen hinaus - den Anfang der *direkten* Lösung dieser schon seit langem vorliegenden Fragestellung dar, nämlich anhand der Bewegung zu berechnen, wie die Bewegung tatsächlich *ist*. Umgekehrt können dann anhand geeigneter Modellrechnungen Aussagen über physikalische Parameter der betreffenden Kometen erfolgen. Darüber hinaus sind bessere Kenntnisse der nichtgravitativen Kräfte von großer Bedeutung für die genaue Vorausberechnung der Kometen.

Es erscheint äußerst fragwürdig, ob sich die hier erhaltenen Ergebnisse grundsätzlich auf andere Kometen verallgemeinern lassen, denn abgesehen von den individuellen physikalischen Zustandsgrößen ist der Halley'sche Komet offenbar ein sehr alter, bereits strukturell differenzierter Komet. Insofern wäre es wünschenswert, entsprechende Rechnungen auch für andere Kometen durchzuführen. Eine Fehlerabschätzung ergibt, daß sich bereits mit einer verhältnismäßig geringen Zahl an Beobachtungen der entfernteren Bahnanteile signifikante Aussagen erhalten lassen. Bedauerlicherweise fehlt es jedoch an entsprechenden Beobachtungen.

Der Verfasser regt daher an, astrometrische Beobachtungen von periodischen Kometen in möglichst großer heliozentrischer Distanz durchzuführen.

## Anhang

Nachfolgend ist eine Liste des für die Berechnungen verwendeten Programmes gegeben. Das Programm hat der Verfasser während seines Studiums in Siegen und Göttingen erstellt und fortlaufend erweitert. Es ermöglicht Bahnrechnungen von großen und kleinen Planeten, Kometen und entfernteren Monden, und ist daher vermutlich auch unabhängig von der vorangegangenen Untersuchung der Bewegung des Halleyschen Kometen von Interesse.

Zur Verwendung des Programmes ist die Beachtung der darin enthaltenen Kommentare notwendig und ausreichend. Dennoch sind einige Beispiele zur Dateneingabe für verschiedene Anwendungsfälle vorangestellt.





Bahnverbesserung eines Kometen mit zahlreichen nichtgravitativen Parametern. Angenommen werden nichtgravitative Kräfte vom Stil 2 (Eingabe K 2), die Bahnstücke sind bei  $r = 1 AU$  vor und nach dem Perihel begrenzt. Die in der letzten Eingabezeile mit 1 kodierten Unbekannten werden nicht verbessert.

```
9 00505      +1.200    500 500 2446200.5  1000.    122 2 0-1 1 0 0
8 9 E
*** Halley'scher Komet ***
F
N
K 2  +0.00    0.000    0.0000 0.000    0.000 -1.0    +1.0
19860219.0    101 0    19860219.    19860219.
19860209.458884645248 0.0    .58710264617337    .967271578842814
      111.846408242306    58.143474575028    162.239328752362
A11 0.105003704720
A21 0.002718686850
A31 0.007787709287
A12 0.169093912002
A22 0.033818782400
A32 0.002035486849
A13 0.249027030062
A23 0.049805406012
A33 0.216728273729
$
R576    0.38    269.    330.    Burwash
R 95    34.02    303.    299.    Crimea-Nauchnij
R190    68.68    334.    264.    Gissar
R892    141.    312.    290.    Japan.
R801    288.44    315.    287.    Cambridge (USA)

1987 03 23.73610  10 09 27.31 -10 53 05.9      190
1987 04 20.80417  09 51 26.61 -07 39 16.3      095
1987 04 20.80978  09 51 26.47 -07 39 18.6      5 095
1987 04 23.68246  09 50 17.97 -07 22 11.3      190
1987 04 24.47882  09 50 00.17 -07 17 30.9      5 892
1987 04 24.52101  09 49 59.58 -07 17 18.5      892
1987 04 24.65104  09 49 56.58 -07 16 40.2      190
1987 04 25.65451  09 49 35.10 -07 10 54.1      5 190
1987 04 25.89132  09 49 30.82 -07 09 34.2      576
1987 04 26.04908  09 49 27.27 -07 08 42.9      801
1987 05 01.06211  09 47 56.33 -06 41 43.9      801

000000010011011
```

Bahnverbesserung eines Asteroiden. Die Planeten sollen nicht mitintegriert, sondern von Datei E:9  
gelesen werden. Eingabe der Elemente formatfrei. Anschließend Berechnung einer Ephemeride mit mittlerem  
Fehler.

```

9 00015      00.800      500050 2446400.5  1000.    122 2 0-1 1
8 9 E
*** (3683) 1987 MA *** Entd. 1987 Jun 23 v. W.Landgraf, GPO-Tel. ESO/Chile
F
19870724.0    101 00    19870727.    19871201.
19870724.0  047.2306  3.132938  0.115337  139.6607  102.2506  15.6954
R809  289.27    372.    -207.    European Southern Observatory, La Silla

      1987 06 22.32153  20 31 34.91 -23 20 03.2      809
      1987 06 23.35174  20 31 09.60 -23 27 41.7      809
      1987 06 24.29688  20 30 45.01 -23 34 44.0      809
      1987 06 25.06563  20 30 24.29 -23 40 29.8      809
      1987 06 25.31771  20 30 17.01 -23 42 22.1      5 5 809
      1987 06 26.42188  20 29 44.84 -23 50 50.4      809
      1987 06 27.06979  20 29 25.90 -23 55 48.0      809
      1987 06 27.43056  20 29 14.32 -23 58 36.2      809
      1987 06 29.24949  20 28 16.62 -24 12 42.6      809
      1987 06 31.42569  20 27 01.45 -24 29 50.8      809

```

Bahnverbesserung eines Mondes mit anschließender Ephemeride. Der Zentralkörper ist Planet 9 (Ein-  
gabe Z 9). Verwendet werden Relativpositionen zum Zentralkörper.

```

9 02015      0.80      020 020 2445000.5  1000.    122 2 0-1 1
8 9 E
Z 9
*** Nereide ***
F
19801227.0    105 00 0 19801120.    19810204.
19810104.000  122.9692533377  0.036925137991  0.755599320668
      295.3225241862  320.0032690027  5.0050643934
R809  289.27    372.    -207.    European Southern Observatory
R568  204.53    401.    144.    Mauna Kea

      1981 04 06.333  D    12.19      41.62      9393 809
      1981 04 06.361  D    11.96      41.56      9393 809
      1981 04 11.361  D    03.26      41.42      9393 809
      1981 04 12.354  D    01.28      41.20      9393 809
      1982 03 20.61181 D    47.85      41.22      9393 568
      1982 03 20.63333 D    48.00      41.34      9393 568
      1982 03 21.61806 D    46.13      41.28      9393 568
      1982 05 04.28264 D   -32.24      36.90      9393 809
      1982 05 04.34757 D   -32.04      37.22      9393 809
      1982 05 04.35417 D   -32.63      37.10      9393 809
      1982 05 05.35069 D   -33.92      36.84      9393 809
      1982 05 05.41042 D   -34.19      37.08      9393 809

```

```

CUNI  COMPILER(PAGESIZE=32K)
C      COMPILER(NBRPAGES=120)
CUNI  COMPILER(NBRPAGES=185)
C      VIRTUAL /BD800/
CUNI  VIRTUAL(UNPACKED) /BD800/,/ANFG/,/KOEFF/,/BEOB/,/GEWI/,
CUNI  . /BE1/,/BE2/,/STERNW/
C      NBRPAGES=237,PAGESIZE=32K,LREC=70000
C      PROGRAM BAHN(INPUT,OUTPUT,TAPE5=INPUT,TAPE6=OUTPUT,TAPE9=PUNCH)
C      Entworfen an der Sternwarte der Gesamthochschule Siegen und der
C      Universitäts-Sternwarte Göttingen von W.Landgraf
C*****
C* Programm zur Bahnbestimmung und numerischen Integration von Himmelskörpern.
C* Im Wesentlichen können folgende Rechnungen durchgeführt werden :
C* 1) Integration von mehreren Himmelskörpern und Ausdruck von
C*    Ort, Geschwindigkeit und oskulierenden Elementen
C* 2) Einlesen und Mitintegration eines zusätzlichen Körpers
C*    zwecks Berechnung einer Ephemeride und/oder Nachrechnen von
C*    Beobachtungen
C* 3) Bahnbestimmung und Bahnverbesserung des zusätzlich
C*    eingelesenen Körpers incl. Berechnung evtl. weiterer Unbekannter
C*    wie Planetenmassen o.ä., ggf. anschließend Berechnung einer Ephemeride.
C*    U.a. können dabei beliebige Kombinationen oder einzelne der
C*    Unbekannten konstant gehalten werden.
C*****
C      Bedeutung der verwendeten Größen

C* TZ,IEPHE,IANFG,IENDE,IUT,IOBS
C      Zeit, zu welcher der Zusatzkörper hinzukommt; Schrittweite
C      sowie Anfang und Ende der Ephemeride in Schritten von TZ an gezählt;
C      Angabe, ob Ephemeride für ET oder UT erwünscht ist; Anzahl der Beobachtungen
C* TOBS,RA,DEKL,DW,DY,DZ,P,RES,NTOBS
C      Zeit;Rektaszension;Deklination; Parallaxe in X,Y,Z bzw. nach der ersten
C      Bahnverbesserung, heliozentrische Koordinaten des Beobachters;
C      Gewicht in RA und Dekl; Residuals in RA und Dekl. nach vorangegangener
C      Bahnverbesserung; und Anzahl der Schritte seit der Oskulationsepoche
C      der evtl. eingegebenen Beobachtungen des Zusatzkörpers
C* NSTW,DXY,DZO,STWL,NSTW
C      Anzahl der vorkommenden Sternwarten; parallaktische Faktoren;
C      östliche geographische Länge; MPC-Nr. oder andere Kennnummer der Sternwarte
C* N,NF,NZENTZ
C      Steuerungsgrößen. N Gesamtzahl der momentan integrierten Objekte.
C      Anfangs Anzahl der großen Planeten, dann 1 oder 7+NGR mehr, je nachdem
C      ob IBV0=0 oder >1, nach der IBV0 -ten Bahnverbesserung aber nur
C      noch 1 mehr. NF Index des letzten Himmelskörpers (anfangs Index
C      des letzten Planeten, dann Index des Zusatzkörpers). NZENTZ Index desjenigen
C      Körpers, auf den ein- und ausgegebene Elemente des Zusatzkörpers bezogen
C      sind, falls nicht der Zentralkörper (z.Bsp.bei Monden des betr. Planeten).
C* NANZ,DT,ID,IEM,ANF,DGESCH,IFELEM,IBV0,IFBV0,IEND,IBZ,NGLEI
C      Anzahl der auszuführenden Integrationsschritte (wird beim Zusatz-
C      körper aus allen anderen Angaben berechnet); Integrationsschritt-
C      weite in Tagen (bei kleinen Planeten z.Bsp. 1.0 d, bei Kometen usw.
C      mit  $q < 0.5$  AE etwa 0.4 oder 0.5 d); Intervall zum Ausdrucken
C      von Ort bzw.von Geschwindigkeit incl.oskulierenden Elementen
C      (falls IEM mit einem Minuszeichen versehen, zusätzliches Ausstanzen der
C      Ergebnisse im Eingabeformat); Anfangszeitpunkt der Integration, für welchen
C      die eingegebenen Initialwerte oder Elemente der großen Planeten gelten;
C      Zeiteinheit in Tagen für die Eingabe der Geschwindigkeiten und
C      von M(s.dieses); Angabe ob Elemente oder rechtwinklige Initialwerte für die
C      Planeten eingegeben werden (IFELEM=1 BZW.=0), bei IFELEM<0 ein Teil von
C      Datei zu lesen, die restlichen im Format -IFELEM;
C      Angabe, ob eine Bahnverbesserung durchzuführen ist oder nur Beobachtungen
C      nachgerechnet und ggf.eine Ephemeride erstellt werden soll
C      (IBV0 > BZW. = 0), im ersten Falle zugleich Anzahl, wie oft insgesamt
C      die Koeffizienten der Bedingungsgleichungen der Bahnverbesserung zu
C      berechnen sind (d.h. ab der wievielten Bahnverb. die dann berechneten

```





















































































































































































































